



Introducing a New Drinking Water Quality Index for Surface Water Resources Using Multivariate Analysis (Case Study: Sefidroud River)

M. Mohammadi Ghalehi^{1*}, H. Kardan Moghaddam²

Received: 11-07-2022

Revised: 30-07-2022

Accepted: 08-08-2022

Available Online: 21-11-2022

How to cite this article:

Mohammadi Ghalehi, M., & Kardan Moghaddam, H. (2022). Introducing a New Drinking Water Quality Index for Surface Water Resources Using Multivariate Analysis (Case Study: Sefidroud River). *Journal of Water and Soil* 36(4): 439-458. (In Persian with English abstract)

DOI: [10.22067/JSW.2022.77413.1177](https://doi.org/10.22067/JSW.2022.77413.1177)

Introduction

The water quantity and quality has always been one of the main challenges in the issue of allocating water resources for different uses. Water quality management requires the collection and analysis of large amounts of water quality parameters that will be evaluated and concluded. Many tools have been found to simplify the evaluation of water quality data, and the water quality index (WQI) is one of these widely used tools. In summary, the WQI can be defined as a number obtained from the combination of several quality parameters based on standards for its extraction. The aim of this study was to develop and introduce the new Surface Drinking Water Quality Index (SDWQI) adopt the water quality parameters measured on hydrometric stations of Iran. In developing this index, criteria such as the availability of required parameters in most rivers and simple and accurate methods have been considered. Also, the ability to calculate with the minimum general parameters of water quality, simple calculations and in terms of the international standard WHO for drinking is one of the advantages of the introduced index.

Materials and Methods

For this purpose, 12 water quality parameters including Total Dissolved Solids (TDS), Electrical Conductivity (EC), Total Hardness (TH), pH, Chloride (Cl^-), Sulfate (SO_4^{2-}), Carbonate (CO_3^{2-}), Bicarbonate (HCO_3^-), Magnesium (Mg^{2+}), Sodium (Na^+), Calcium (Ca^{2+}) and Potassium (K^+) have been used from Rudbar and Astaneh hydrometric stations located on Sefidroud river. Then initial preprocessing on data e.g. correlation analysis, and multivariate statistical methods including cluster analysis (CA) and principal components analysis (PCA) are used to selecting and weighting of water quality parameters using the “clustering” and “factoextra” packages in R 4.1.1. In order to develop the SDWQI were performed four steps including, parameter selection, sub-indexing, weighting and aggregation of the index. Also, in order to evaluate the index of the present research, the results of the SDWQI have been compared with the WHO drinking water quality index and Schoeller drinking water quality classification.

Results and Discussion

Correlation analysis between water quality parameters shows a significant correlation between TDS, EC and TH parameters and also with Cl^- , Ca^{2+} and Mg^{2+} parameters at the level of 1% in both Astaneh and Rudbar stations. On the other hand, the lowest values of Pearson correlation coefficient are related to pH and CO_3^{2-} parameters with other quality parameters. The results of CA indicate that most of the water quality parameters are located in separate clusters. So only the parameters TDS, EC, Cl^- and Na^+ in both Rudbar and Astaneh stations are in the same cluster. The weights of the parameters showed that TDS and K^+ are assigned with the

1- Assistant Professor, Water Science and Engineering Department, Faculty of Agriculture and Environment, Arak University, Arak, Iran

(*- Corresponding Author Email: m-mohammadighalehi@araku.ac.ir)

2- Assistant Professor, Water Research Institute, Ministry of Energy, Tehran, Iran

highest and lowest weights equal to 0.163 and 0.031 based on PCA method. Also, PCA results show that first and second principal components covered 59.3% and 67.6% of the total variance of measured water quality parameters in Rudbar and Astaneh stations, respectively. Water quality classification results indicate that (40.5%, 16.4% and 23.7%) and (90.1%, 73.1% and 57.3%) of data in Rudbar and Astaneh stations, respectively, fell into the excellent and good categories for drinking purposes based on Schoeller classification, WHOWQI and SDWQI.

Conclusion

Generally, the comparison of the SDWQI with the WHO index and the Schoeller classification shows the rigidity of the new index in the classification of water quality for drinking purposes. Each water quality index developed in order to evaluate the uncertainty of results, should be tested for data with different characteristics in terms of the range of variation with different limit values (minimum and maximum). The index developed in the present study is no exception to this rule and in order to evaluate the results better, it is suggested that to be evaluated and analyzed with data from other hydrometric stations. Another important point that should be considered in using any water quality index, including the present research index, is to examine the allowable limits of water quality parameters that are not considered in these indicators. The results of the study indicated that two most important steps in the development of a quality index that have a great impact on its results are sub-indexing and weighting of parameters. According to the results, two ideas recommended for future research. One, choosing an appropriate method such as non-deterministic (fuzzy) and intelligent (machine learning) methods to sub-index the parameters and two, to weigh the parameters more effectively, multivariate statistical methods such as clustering, factor analysis and principal component analysis should be used.

Keywords: Clustering, Hydrometric stations, Principal component analysis, Sefidroud river, Water quality index

مقاله پژوهشی

جلد ۳۶، شماره ۴، مهر-آبان ۱۴۰۱، ص. ۴۵۸-۴۳۹

معرفی شاخص جدید کیفیت منابع آب سطحی جهت مصارف شرب با استفاده از روش‌های چندمتغیره آماری (مطالعه موردنی: رودخانه سفیدرود)

مهدی محمدی قلعه‌نی^{۱*} - حمید کارдан مقدم^۲

تاریخ دریافت: ۱۴۰۱/۰۴/۲۰

تاریخ پذیرش: ۱۴۰۱/۰۵/۱۷

چکیده

هدف از تحقیق حاضر توسعه و معرفی یک شاخص جدید کیفیت آب شرب (SDWQI)، با استفاده از پارامترهای کیفی اندازه‌گیری شده در ایستگاه‌های هیدرومتری رودخانه سفیدرود است. به این منظور ۱۲ پارامتر کیفی ماهانه شامل کل مواد جامد محلول (TDS)، هدایت الکتریکی (EC)، سختی کل (TH)، اسیدیته (pH)، کلر (Cl⁻)، سولفاتات (SO₄²⁻)، کربناتات (CO₃²⁻)، بی‌کربنات (HCO₃⁻)، مینیزیم (Mg²⁺)، سدیم (Na⁺), کلسیم (Ca²⁺) و پتانسیم (K⁺) طی دوره آماری ۱۳۶۶-۹۹ در ایستگاه‌های هیدرومتری رودبار و آستانه واقع در رودخانه سفیدرود استفاده شده است. پس از پردازش‌های اولیه روی داده‌ها مانند تحلیل همبستگی پارامترها، از روش‌های چندمتغیره آماری مانند خوشبندی و تجزیه به مؤلفه‌های اصلی (PCA) به منظور انتخاب و وزن‌دهی پارامترهای کیفیت آب با استفاده از بسته‌های "factoextra" و "cluster" در نرم‌افزار R 4.1.1 برای توسعه شاخص جدید کیفیت آب استفاده شده است. نتایج شاخص جدید توسعه داده شده با شاخص کیفیت آب شرب سازمان بهداشت جهانی (WHO) و دسته‌بندی کیفیت آب شرب شولر مقایسه شده است. وزن‌دهی پارامترها با استفاده از روش PCA حاکی از اختصاص بیشترین و کمترین وزن به ترتیب به پارامترهای TDS و K⁺ و برابر ۰/۰۳۱ و ۰/۰۳۱ می‌باشد. همچنین نتایج حاکی از پوشش ۵۹/۳ و ۶۷/۶ درصدی مؤلفه‌های اصلی اول و دوم از واریانس تغییرات کل پارامترهای کیفیت آب مورد بررسی به ترتیب در ایستگاه‌های رودبار و آستانه می‌باشد. نتایج دسته‌بندی کیفیت آب بیانگر قرار گرفتن به ترتیب (۰/۱ و ۰/۱ و ۰/۱ و ۰/۱) درصد (۷۳/۱، ۹۰/۱، ۵۷/۳ و ۲۳/۷) داده‌های ایستگاه‌های رودبار و آستانه در رده‌ی خوب و عالی چهت مصارف شرب بر اساس دسته‌بندی شولر، شاخص WHO و شاخص جدید می‌باشد.

واژه‌های کلیدی: ایستگاه هیدرومتری، پارامترهای کیفیت آب، خوشبندی، رودخانه سفیدرود، شاخص کیفیت آب

مقدمه

زیرزمینی می‌شوند. شرایط آب و هوایی، ریزش‌های جوی، خشکسالی، سیلاب، فرسایش خاک، زمین‌شناسی منطقه و انحلال مواد معدنی از جمله عوامل طبیعی کاهش کیفیت منابع آب می‌باشند. از طرف دیگر فعالیت‌های انسانی مانند رشد جمعیت، تخلیه آلاینده‌های شهری و صنعتی، دفن پسماندها و فعالیت‌های کشاورزی از جمله مهم‌ترین عوامل کاهش کیفیت آب در رودخانه‌ها و آبهای زیرزمینی می‌باشند. کاهش کیفیت منابع آب با توجه به حدود مجاز استانداردهای لازم بر اساس نوع مصارف شرب، کشاورزی، خدمات و یا صنعت، استفاده از این گونه منابع آبی را محدود می‌سازد (Kumar and Sangeetha, 2020).

موضوع کیفیت و کیفیت آب، همواره از چالش‌های اساسی در مسئله تخصیص منابع آب به مصارف مختلف می‌باشد. عوامل طبیعی و فعالیت‌های انسانی عموماً باعث تخریب کیفیت منابع آب سطحی و

- ۱- استادیار گروه علوم و مهندسی آب، دانشکده کشاورزی و محیط زیست، دانشگاه اراک، اراک، ایران
- (**- نویسنده مسئول: Email: m-mohammadighaleni@araku.ac.ir)
- ۲- استادیار موسسه تحقیقات آب، وزارت نیرو، تهران، ایران

DOI: 10.22067/JSW.2022.77413.1177

مهم‌ترین مزیت شاخص معرفی شده است که کاربرد آن را در همه رودخانه‌هایی که دارای ایستگاه هیدرومتری می‌باشند، امکان پذیر می‌سازد. به منظور توسعه شاخص جدید، ۱۱ پارامتر اندازه‌گیری شده در ایستگاه‌های هیدرومتری رودبار و آستانه شامل کل مواد جامد محلول (TDS)، هدایت الکتریکی (EC)، اسیدیته (pH)، کلر (Cl⁻)، سولفات (SO₄²⁻)، کربنات (CO₃²⁻)، بی‌کربنات (HCO₃⁻)، منیزیم (Mg²⁺)، سدیم (Na⁺)، کلسیم (Ca²⁺) و پتاسیم (K⁺) در مقیاس ماهانه طی یک دوره آماری ۳۴ ساله (۱۳۶۶-۹۹) استفاده شده است.

۲- توسعه شاخص به منظور کاربرد مصارف شرب: با توجه به محدودیت‌های منابع آبی به خصوص جهت مصارف شرب، قابلیت ارزیابی اولیه و آسان کیفیت آب در بازه‌های مختلف رودخانه‌ها به منظور کاربرد جهت مصارف شرب از دیگر مزایای شاخص جدید معرفی شده می‌باشد. البته ذکر این نکته ضروری می‌باشد که ارزیابی کیفیت آب جهت مصارف شرب با لحاظ تمامی استانداردها و حساسیت‌های مصرف شرب، نیاز به پارامترها و بررسی‌های بسیار زیادی دارد. اما هدف از این تحقیق ارزیابی اولیه کیفیت آب رودخانه‌ها با توجه به حداقل پارامترهای اندازه‌گیری شده بر اساس استاندارد کیفیت آب سازمان بهداشت جهانی (WHO) است.^۳

روش توسعه شاخص معرفی شده: در این تحقیق سعی شده است مواد

و روش‌هایی جامع، ساده و دقیق برای توسعه شاخص کیفیت آب ارائه شود تا روش تحقیق بیان شده قابل فهم و کاربرد برای تمامی محققان فعل در زمینه مباحثت کیفیت آب باشد. به منظور توسعه شاخص جدید در هر مرحله تمامی روش‌ها به طور مختصر بیان و

روش مورد استفاده به طور کامل شرح داده شده است.

هدف اصلی از تحقیق حاضر توسعه و معرفی یک شاخص جدید کیفیت آب‌های سطحی به منظور کاربرد برای مصارف شرب^۴ (SDWQI) می‌باشد. در توسعه این شاخص ملاک‌هایی مانند در دسترس بودن پارامترهای موردنیاز در اکثر رودخانه‌ها و روش کار ساده و دقیق مدنظر قرار گرفته است. به طور خلاصه قابلیت محاسبه با حداقل پارامترهای عمومی کیفیت آب، محاسبات ساده و لحاظ استاندارد بین‌المللی WHO برای مصارف شرب از مزایای شاخص معرفی شده می‌باشد.

مدیریت کیفیت آب نیازمند جمع‌آوری و تحلیل حجم زیادی از داده‌های پارامترهای کیفیت آب است که ارزیابی و نتیجه‌گیری از آنها مشکل خواهد بود. ابزارهای زیادی برای ارزیابی ساده‌تر داده‌های کیفیت آب توسعه یافته است که شاخص کیفیت آب^۱ یکی از این ابزارهای پرکاربرد می‌باشد. جذابیت استفاده از یک عدد به عنوان شاخص کیفیت آب به جای مجموعه داده‌های پیچیده پارامترهای کیفیت آب برای مدیران و سایر مردم به خاطر درک راحت‌تر آن وجود دارد (Uddin et al., 2021). اگرچه تعاریف متفاوتی از شاخص کیفیت آب وجود دارد اما به طور خلاصه شاخص کیفیت آب را می‌توان یک عدد حاصل از ترکیب چند متغیر با لحاظ استانداردهایی برای استخراج آن برشمرد (Darapu et al., 2011). از زمان پیدایش مفهوم شاخص کیفیت آب، مطالعات بسیار زیادی به منظور افزایش دقت و کاهش عدم قطعیت مقادیر شاخص انجام شده است. هر شاخص توسعه داده شده دارای مزايا و معایب بوده و در یک شرایط محدود و به منظور اهداف خاصی قابل کاربرد می‌باشد. عدم قطعیت زیاد، کاربرد خاص و محدود و بیش برآورده یا کم برآورده کردن از جمله مهم‌ترین معایب اکثر شاخص‌های کیفیت آب توسعه داده شده است (Dao et al., 2020).

اگرچه توسعه شاخص‌های کیفیت آب محدود به ۵۰ سال اخیر می‌باشد، اما استفاده از این شاخص‌ها به منظور طبقه‌بندی کیفیت آب به اواسط قرن هجدهم میلادی باز می‌گردد (Abbasi and Abassi, 2012). نخستین شاخص کیفیت آب توسط هورتون در دهه ۱۹۶۰ میلادی با استفاده از ۱۰ پارامتر کیفی قابل لحاظ برای اکثر پیکره‌های آبی توسعه داده شد (Horton, 1965). براون و همکاران (Brown et al., 1970) با حمایت بنیاد ملی بهداشت^۲ (NSF) شاخص ارائه شده توسعه هورتون را اصلاح و با عنوان شاخص کیفیت آب بنیاد ملی بهداشت (NSF-WQI) ارائه کردند. شاخص‌های کیفیت آب دیگری نیز بر اساس شاخص NSF-WQI توسعه داده شده است (Uddin et al., 2021). تا به حال بیش از ۳۵ شاخص کیفیت آب توسعه کشورها یا سازمان‌های مختلف به منظور ارزیابی کیفیت آبهای سطحی در سراسر جهان معرفی شده است (Abbasi and Abbasi, 2012; Dadolahi-Sohrab et al., 2012; Kannel et al., 2007; Stoner, 1978). یکی از مهم‌ترین معایب اکثر شاخص‌های کیفیت آب، عدم امکان استفاده از آنها به خاطر عدم اندازه‌گیری و در دسترس بودن پارامترهای کیفی مورد استفاده در آنها می‌باشد.

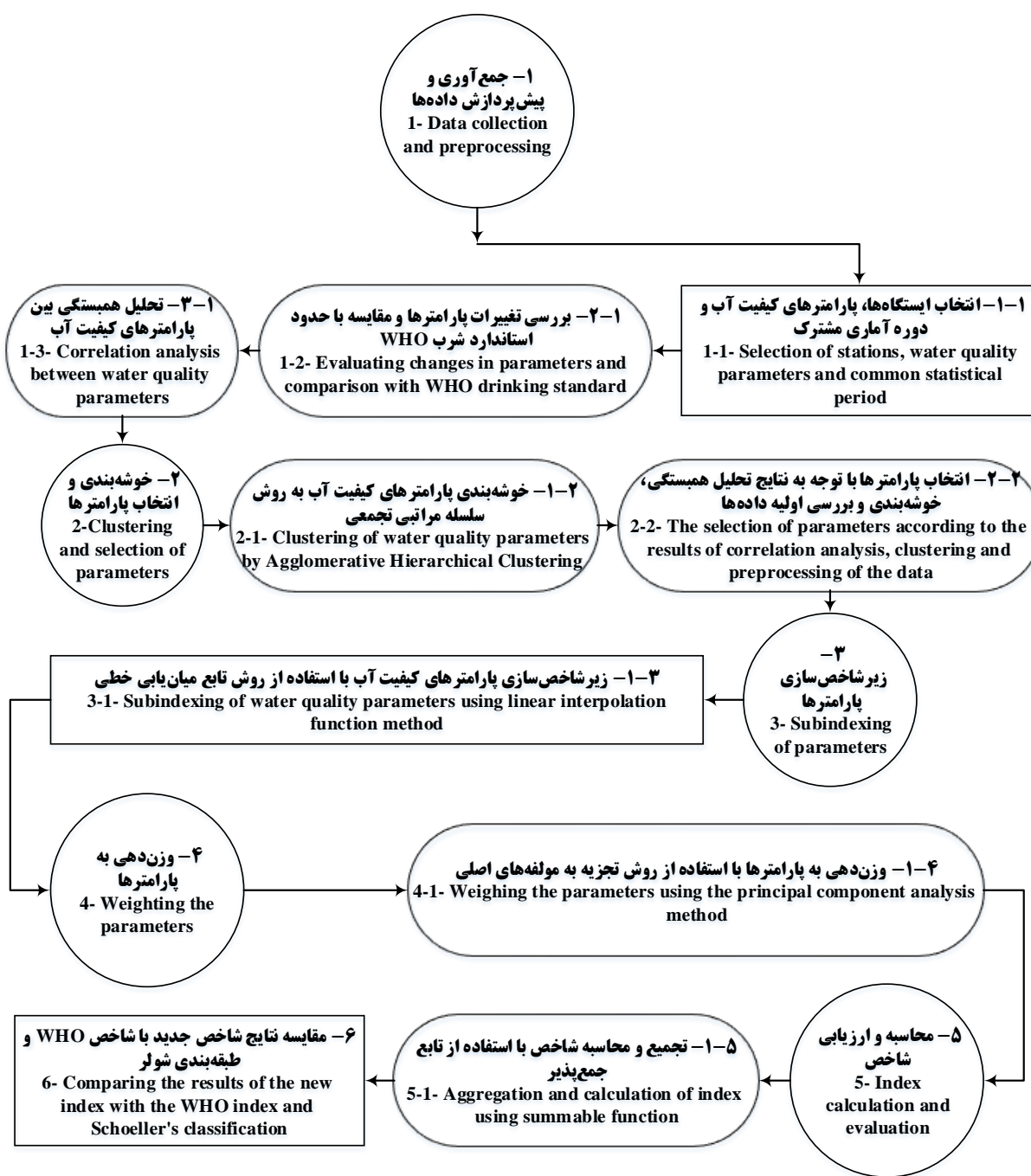
۱- پارامترهای کیفیت آب موردنیاز برای محاسبه شاخص: توسعه شاخص جدید با استفاده از پارامترهای معمول اندازه‌گیری شده در ایستگاه‌های هیدرومتری روی رودخانه سفیدرود انجام شده است. این

1- Water Quality Index

2- National Sanitation Foundation (NSF)

3- World Health Organization (WHO)

4- Surface water Drinking Water Quality Index (SDWQI)



شکل ۱- مراحل انجام تحقیق حاضر
Figure 1- Flowchart of the present research

انتخاب پارامترها^۱، زیرشاخص‌سازی^۲ پارامترها، وزن‌دهی به

مواد و روش‌ها

توسعه یک شاخص کیفیت آب دارای چهار مرحله کلی شامل؛^(۱)

- 1- Parameter selection
2- Sub-indexing

مکانی نادرست، و طبیعت داده‌ها (جهش در داده‌ها به صورت طبیعی) رخ دهد. تشخیص داده‌های پرت در تحقیق حاضر با استفاده از آزمون ناپارامتری گرابر انجام شده است ([Casillas et al., Grubbs, 1950](#)) ([Uddin et al., 2021](#)).

خوشبندی و انتخاب پارامترها

انتخاب پارامتر اولین مرحله از توسعه یک شاخص کیفیت آب می‌باشد که باید نوع و تعداد متغیرها با دلایل انتخاب شان در این مرحله مشخص شود. اغلب شاخص‌ها بین ۸ تا ۱۱ پارامتر و اغلب شامل دمای آب، کدورت^۳، pH، جامدات معلق^۴ (SS)، کل مواد جامد محلول^۵ (TDS)، فکال کلیفرم^۶ (FC)، اکسیژن محلول^۷ (DO)، اکسیژن خواهی بیوشیمیایی^۸ (BOD) و نیتروژن نیتراتی (NH₃-N) می‌باشد. پارامترهای شاخص کیفیت آب بر اساس داده‌های موجود، نظرات کارشناسان و یا درجه اهمیت زیست محیطی انتخاب می‌شوند. در برخی از تحقیقات پارامترها بر اساس نوع استفاده از آب مانند شرب، کشاورزی و یا اثرات زیست محیطی انتخاب شده است ([Kannel et al., 2007](#)). اگرچه به طور کلی هیچ قاعده و قانون مشخصی برای انتخاب پارامترهای یک شاخص کیفیت آب وجود ندارد اما، تاثیرگذارترین عامل محدودیت‌های موجود در داده‌های در دسترس می‌باشد ([Naubi Ma et al., 2020](#) [Uddin et al., 2021](#); [et al., 2016](#)).

موجود نبودن پارامترهای استفاده شده در یک شاخص، نخستین و اصلی‌ترین چالش در استفاده از شاخص‌های کیفیت آب توسعه داده شده برای پیکره‌های آبی با داده‌های محدود می‌باشد. در اکثر رودخانه‌های ایران به جزء برخی بازه‌های محدود که دارای طرح پایش کیف مستمر و جامع می‌باشند، پارامترهای کیفی در دسترس به پارامترهای پایه‌ای که در ایستگاه‌های هیدرومتری اندازه‌گیری می‌شوند، محدود است. این محدودیت در پارامترهای کیفی اندازه‌گیری شده با مشخصات زمانی و مکانی مناسب، دلیل اصلی توسعه شاخص کیفی معرفی شده در تحقیق حاضر می‌باشد. دو اصل در انتخاب پارامترهای کیفیت آب تحقیق حاضر ملاک قرار گرفته است.

3- Turbidity

4- Suspended Solids (SS)

5- Total Dissolved Solids (TDS)

6- Fecal Coliforms (FC)

7- Dissolved Oxygen (DO)

8- Biochemical Oxygen Demand (BOD)

پارامترها^۹ و ^{۱۰} فرآیند تجمیع^{۱۱} شاخص می‌باشد. روش مورد استفاده در تحقیق حاضر برای هر یک از این مراحل در ادامه شرح داده شده است. در مرحله انتخاب پارامترها یک یا چند پارامتر کیفی برای مدنظر قرار دادن در شاخص کیفیت آب انتخاب می‌شوند. در مرحله دوم با توجه به متفاوت بودن واحدهای پارامترهای انتخاب شده، تمامی واحدهای به صورت بدون بعد تبدیل می‌شوند. وزن دهی به پارامترهای کیفی با توجه به درصد اهمیت آنها در مرحله سوم توسعه شاخص کیفی انجام می‌شود. تجمیع پارامترها و تبدیل تمامی پارامترها به یک شاخص عددی در مرحله نهایی محاسبه شاخص کیفی انجام می‌شود ([Uddin et al., 2021](#)). فلوچارت انجام تحقیق حاضر به صورت شکل ۱ می‌باشد.

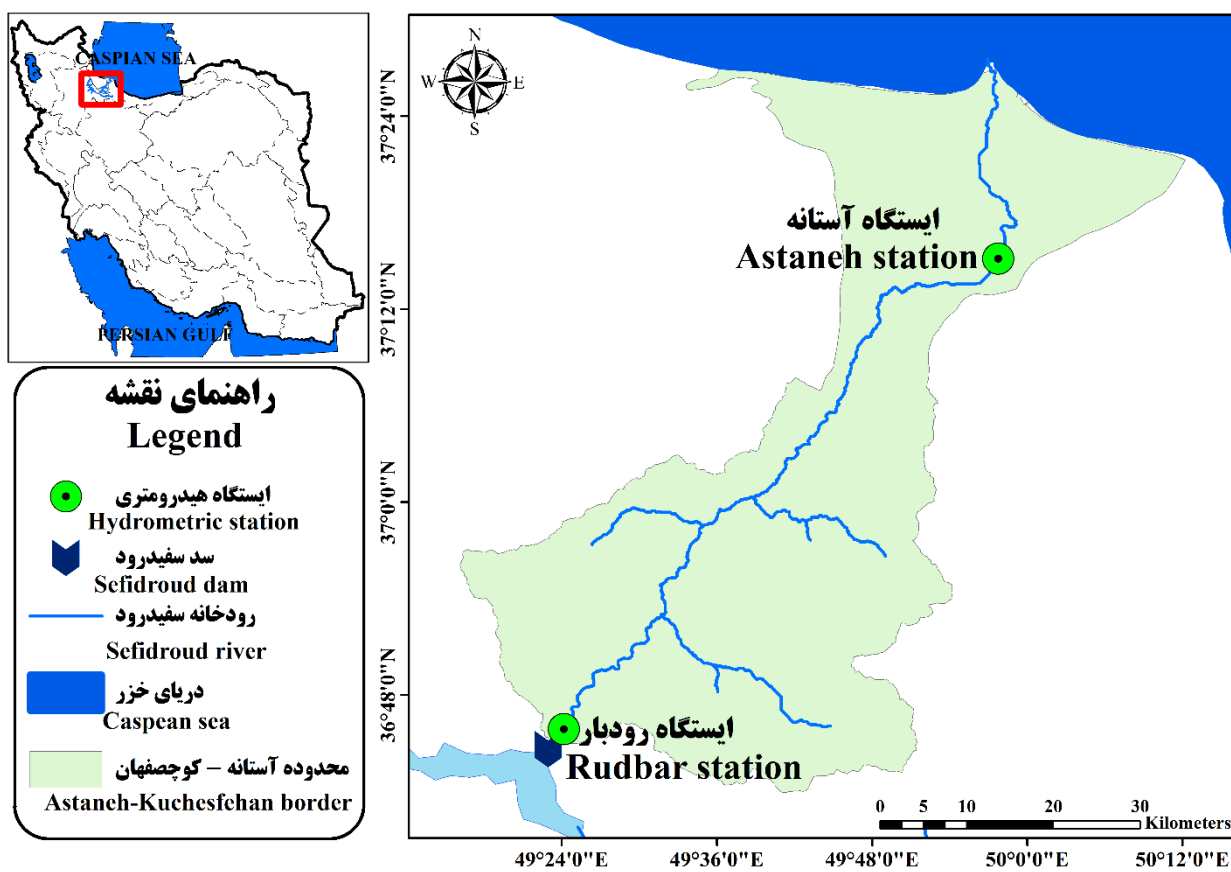
جمع‌آوری و پیش‌پردازش داده‌ها

با توجه به هدف تحقیق حاضر، پارامترهای کیفیت آب که به طور معمول در ایستگاه‌های هیدرومتری اندازه‌گیری و ثبت می‌شوند، به منظور توسعه یک شاخص کیفیت آب به منظور مصارف شرب مورد استفاده قرار گرفته است. به این منظور ۱۱ پارامتر اندازه‌گیری شده در ایستگاه‌های هیدرومتری روdbار و آستانه شامل کل مواد جامد محلول (TDS)، هدایت الکتریکی (EC)، اسیدیته (pH)، کلر (Cl⁻)، سولفاتات (SO₄⁻²)، کربنات (CO₃⁻²)، بی‌کربنات (HCO₃⁻)، مینیزیم (Mg²⁺)، سدیم (Na⁺)، کلسیم (Ca²⁺) و پتاسیم (K⁺) در مقیاس ماهانه طی یک دوره آماری ۳۴ ساله (۹۹-۱۳۶۶) استفاده شده است. طول دوره آماری داده‌های مورد استفاده در تحقیق حاضر (۹۹-۱۳۶۶) با در نظر گرفتن مشخصاتی مانند بلندمدت بودن طول دوره آماری (حداقل ۳۰ سال)، دوره زمانی یکسان آمار موجود در دو ایستگاه هیدرومتری و کیفیت داده‌ها از لحاظ داده‌های گمشده‌ی کمتر، انتخاب شده است. محدوده مورد مطالعه به همراه موقعیت ایستگاه‌های هیدرومتری روdbار و آستانه در شکل ۲ نشان داده شده است.

از مجموع ۴۴۸۸ داده پارامترهای کیفیت آب (۰۸ ماه برای ۱۱ پارامتر) اندازه‌گیری شده در هر ایستگاه هیدرومتری در ۳۴ سال آمار مورد استفاده به ترتیب ۱۴ (۰/۳۱)، ۳۰ (۰/۶۷) درصد داده در ایستگاه‌های روdbار و آستانه جزء داده‌های ناقص می‌باشد، که این داده‌ها با استفاده از روش‌های رگرسیونی و همبستگی حداقل بین متغیرها کامل شده است. داده‌های پرت می‌تواند به دلایلی مانند اشتباه انسانی در اندازه‌گیری و ثبت داده‌ها، خطاهای وسایل اندازه‌گیری، روش‌های اشتباه در تشخیص داده‌های پرت، پردازش داده‌ها و نمونه‌برداری، داده‌برداری اشتباه در اثر طرح‌ریزی زمانی-

1- Parameter weighting

2- Aggregation process



شکل ۲- محدوده مورد مطالعه به همراه موقعیت ایستگاه‌های هیدرومتری رودبار و آستانه

Figure 2- Location of the case study and Astaneh and Rudbar hydrometric stations

شاخص^۱ CCME-WQI مرحله زیرشاخص‌سازی را حذف کرده و تجمیع شاخص را با لحاظ مستقیم غلظت پارامترها بدون زیرشاخص‌سازی انجام داده‌اند (Neary *et al.*, 2001). سه روش شامل استفاده مستقیم از غلظت پارامترها^۲ بدون بی‌بعد سازی، توابع میان‌یابی خطی^۳، توابع منحنی رتبه‌بندی^۴ برای مرحله سازی، توابع میان‌یابی خطی^۴، توابع منحنی رتبه‌بندی^۵ برای زیرشاخص‌سازی انواع پارامترهای کیفی مورد استفاده شده است. زیرشاخص‌هایی مانند هورتن^۶، دینیوس^۷، دالماتین^۸، لیو^۹ و ساید^{۱۰} بدون

نخست پارامترهای موجود و در دسترس (دسترسی آسان به پارامترها در تمامی رودخانه‌ها با دارایی‌دن حداقل یک ایستگاه هیدرومتری) و دومی معیار قراردادن مصارف شرب (با توجه به محدودیت منابع آب زیرزمینی جهت مصارف شرب) به عنوان ملاک‌های انتخاب پارامترهای کیفیت آب در تحقیق حاضر است.

زیرشاخص‌سازی^۱ پارامترها

هدف اولیه از مرحله زیرشاخص‌سازی تبدیل غلظت پارامترهای با واحدهای مختلف به مقادیر بدون بعد متناظر با مقدار غلظت اندازه‌گیری شده هر پارامتر در زمان و مکان مختلف می‌باشد (Abbasi and Abbasi, 2012). برخی از شاخص‌ها از دستورالعمل‌های استاندارد برای زیرشاخص‌سازی پارامترها استفاده کرده‌اند (Abbasi and Abbasi, 2012; Liou *et al.*, 2004)؛ (Sutadian *et al.*, 2016) در حالی که برخی از شاخص‌ها مانند

2- Canadian Council of Ministers of the Environment (CCME) WQI

3- Parameter concentrations

4- Linear interpolated functions

5- Rating curve functions

6- Horton index

7- Dinius index

8- Dalmatian index

9- Liou index

10- Said index

1- Sub-indexing

متغیرهای S_1 و S_2 در روابط (۱) و (۲) با توجه به روش مورد استفاده به ترتیب برابر ۱۰۰ و صفر می‌باشد. به عبارتی حدود مقدار پارامترهای کیفیت آب بعد از زیرشاخص سازی شدن بین صفر تا صد متغیر خواهد بود. مقدار سایر متغیرهای مورد نیاز در روابط (۱) و (۲)، شامل X_1 , X_2 و حد مجاز WHO، برای محاسبه مقدار زیرشاخص سازی شده‌ی پارامترهای کیفیت آب (S_i) در [جدول ۱](#) ارائه شده است.

وزن دهی پارامترها

به طور کلی، وزن پارامترها بر اساس اهمیت نسبی پارامترهای کیفی یا بر طبق استانداردهای مناسب برآورد می‌شود. اکثر شاخص‌های کیفی توسعه داده شده برای پارامترهای مورد استفاده وزن‌هایی نابرابر و با مجموع برابر با یک در نظر گرفته‌اند ([Sarkar et al., 2006](#) and [Abbasi, 2006](#)). با توجه به تابع تجمعی به کار رفته برای محاسبه شاخص WQI، وزن مربوط به هر پارامتر کیفی تاثیر زیادی روی عدد نهایی محاسبه شده دارد. بر اساس نوع استفاده (شرب، کشاورزی، محیط‌زیست و ...) از شاخص کیفیت آب وزن‌های اختصاص داده شده به هر پارامتر متفاوت است. دو روش وزن دهی یکی بر اساس نظرات کارشناسان و دیگری استفاده از تحلیل سلسله مراتبی^۵ (AHP) در توسعه بسیاری از شاخص‌های کیفیت آب استفاده شده است ([Sarkar and Sutadian et al., 2017](#)).

([Abbasi, 2006](#); [Uddin et al., 2021](#))

در تحقیق حاضر به منظور تعیین وزن برای پارامترهای کیفیت آب از روش تجزیه به مولفه‌های اصلی^۶ (PCA) استفاده شده است. در این روش با در نظر گرفتن مقدار میانگین بردارهای ویژه (α_i) مربوط به ۱۰ مولفه اصلی اول، بردار وزنی مربوط به پارامترهای کیفیت i تا j (Ω_{ij}) با استفاده از رابطه (۳) محاسبه می‌شود.

$$\Omega_i = \sum_{i=1}^j \lambda_i \alpha_i / P^{(j)} \quad (3)$$

$$P^{(j)} = \sum_{i=1}^j \lambda_i \quad (4)$$

در رابطه (۳)، λ_i واریانس مولفه اصلی i ام و $P^{(j)}$ واریانس تجمعی (رابطه ^۷) تا مولفه اصلی j ام می‌باشد. وزن نهایی پارامترها با توجه به مقادیر محاسبه شده Ω_{ij} برای هر پارامتر i محاسبه می‌شود ([Casillas et al., 2021](#)).

تغییر در مقادیر غلظت پارامترها از آنها به عنوان مقادیر مورد استفاده در محاسبه شاخص کیفیت آب استفاده کردند. همچنین شاخص‌هایی مانند شاخص کیفیت محیط‌زیست^۸ (EQI)، شاخص دریاچه بزرگ MRWQI^۹ (GLNI) و شاخص کیفیت آب رودخانه مالزی^{۱۰} (MRWQI) از روش تابع منحنی رتبه‌بندی برای زیرشاخص سازی پارامترها در شاخص کیفیت مورد نظر استفاده کردند. مشابه شخص‌های NSF-WQI و WJWQI^{۱۱}، در تحقیق حاضر از روش تابع میان‌یابی خطی به منظور زیرشاخص سازی پارامترهای کیفیت آب استفاده شده است ([Uddin et al., 2021](#)). جزئیات این روش در ادامه توضیح داده شده است.

تابع میان‌یابی خطی

مقیاس پارامترها در این روش در محدوده ۰ تا ۱۰۰ قرار می‌گیرند. هنگامی که مقدار غلظت پارامتر پایین‌تر از حد مجاز باشد مقدار ۱۰۰ و در غیر این صورت مقدار صفر به پارامتر اختصاص داده می‌شود ([Lobato et al., 2015](#); [Hoseinzadeh et al., 2015](#)). در تحقیق Misaghi et al., 2017; Medeiros et al., 2017 حاضر بر اساس این طبقه‌بندی و مشابه با شاخص WJWQI از دو رابطه (۱) و (۲) برای مرحله زیرشاخص سازی پارامترها استفاده شده است.

$$S_i = S_1 - \left[(S_1 - S_2) \left(\frac{X_i - X_1}{X_2 - X_1} \right) \right] \quad (1)$$

$$S_i = S_1 - \left[(S_1 - S_2) \left(\frac{X_1 - X_i}{X_1 - X_2} \right) \right] \quad (2)$$

در رابطه (۱) و (۲)، S_i مقدار زیرشاخص سازی شده برای پارامتر کیفیت آب i ام محاسبه شده برای مقدار غلظت X_i ، S_1 و S_2 حداکثر و حداقل مقدار زیرشاخص سازی شده برای مقدار حداکثر X_1 و حداقل X_2 بر اساس راهنمای موردنظر می‌باشد. رابطه (۱) برای مقدار اندازه‌گیری شده بالاتر از حد مجاز و رابطه (۲) برای مقدار اندازه‌گیری شده کمتر از حد مجاز استفاده می‌شود ([Dunnette, 1979](#); [Sutadian et al., 2016](#)). با توجه به کاربرد شاخص کیفیت آب تحقیق حاضر به منظور مصارف شرب، استاندارد شرب سازمان بهداشت جهانی (WHO) برای مشخص کردن مقدار حداکثر و حداقل (X_1 و X_2) در روابط (۱) و (۲) استفاده شده است. مقدار

1- Environmental Quality Index (EQI)

2- Great Lakes Nearshore index (GLNI)

3- Malaysia river WQI (MRWQI)

4- West Java WQI (WJWQI)

جدول ۱- مقادیر حداقل و حداکثر پارامترهای کیفیت آب و حدود مجاز استاندارد WHO (Cotruvo, 2017)

Table 1- The maximum and minimum of water quality parameters and standard allowable threshold of WHO (Cotruvo, 2017)

پارامتر Parameters	واحد Unit	استاندارد WHO, ۲۰۱۷ WHO standard, 2017	ایستگاه روبار		ایستگاه آستانه	
			حد مجاز Standard allowable threshold	Rudbar station حداقل حداکثر	Astaneh station حداقل حداکثر	حداکثر Minimum (X ₂)
TDS	(mg L ⁻¹) میلی‌گرم بر لیتر	1000	327	1920	137	1472
EC	($\mu\text{S cm}^{-1}$) میکروزیمپس بر سانتی‌متر	-	520	2861	130	2336
TH	(CaCO ₃ mg L ⁻¹ of CaCO ₃) میلی‌گرم بر لیتر	300	180	830	94	500
pH	-	6.5-8.5	5.7	8.6	6.4	11.5
Cl ⁻	(mg L ⁻¹) میلی‌گرم بر لیتر	250	14	737	5	553
SO ₄ ²⁻	(mg L ⁻¹) میلی‌گرم بر لیتر	500	16	800	10	354
CO ₃ ²⁻	(mg L ⁻¹) میلی‌گرم بر لیتر	-	0	9	0	15
HCO ₃ ⁻	(mg L ⁻¹) میلی‌گرم بر لیتر	120	66	659	79	409
Mg ²⁺	(mg L ⁻¹) میلی‌گرم بر لیتر	30	0	104	2	67
Na ⁺	(mg L ⁻¹) میلی‌گرم بر لیتر	200	15	421	3	360
Ca ²⁺	(mg L ⁻¹) میلی‌گرم بر لیتر	300	28	205	26	142
K ⁺	(mg L ⁻¹) میلی‌گرم بر لیتر	12	0	12	0	10

و $Q_i < 1$ ، $w_i < 0$ مقدار پارامتر زیرشاخص‌سازی شده برای

پارامترهای کیفی آم، ($0 \leq Q_i \leq 100$) می‌باشد (Rai et al., 2011)

؛ طبقه مربوط به شاخص کیفی با توجه

به عدد نهایی محاسبه شده برای شاخص WQI مطابق با جدول ۲

مشخص شده است.

طبقه‌بندی شاخص کیفیت آب تحقیق حاضر (جدول ۲) مطابق با

شاخص NSFWQI در نظر گرفته شده است. بر این اساس عدد صفر

نشان‌دهنده بدترین کیفیت آب و هر چه این عدد به سمت ۱۰۰ بیشتر

شود، بیانگر کیفیت مطلوب‌تر آب خواهد بود(Uddin et al., 2021).

به منظور ارزیابی نتایج شاخص توسعه داده شده باید نتایج

حاصل از آن با یک طبقه‌بندی یا شاخص کیفی دیگر مقایسه شود. در

تحقیق حاضر نتایج شاخص جدید توسعه داده شده با نتایج شاخص

کیفیت آب شرب سازمان بهداشت جهانی (WQI_{WHO})^۳ و طبقه‌بندی

شولر مقایسه شده است.

تجمیع و ارزیابی شاخص

تجمیع شاخص کیفی آخرین مرحله از توسعه یک شاخص

می‌باشد. در این مرحله با استفاده از پارامترهای زیرشاخص‌سازی شده

و وزن‌های مربوط به هر پارامتر، یک عدد به عنوان امتیازی برای

کیفیت آب بدست می‌آید. تابع تجمیع شاخص کیفی می‌تواند به

صورت توابع جمع‌پذیر^۱، ضرب‌پذیر^۲ و یا ترکیبی^۳ از این دو تابع باشد

(Sutadian et al., 2016). در تحقیق حاضر مشابه با شاخص‌هایی

مانند هورتون و NSFWQI از تابع جمع‌پذیر برای تجمیع شاخص

کیفی مطابق با رابطه (۵) استفاده شده است.

$$SDWQI = \sum_{i=1}^n w_i Q_i \quad (5)$$

در رابطه (۵)، SDWQI شاخص کیفی محاسبه شده

وزن مربوط به پارامتر کیفی آم (۰ ≤ SDWQI ≤ 100)

1 Additive functions

2 Multiplicative functions

3 Combination functions

جدول ۲- طبقه‌بندی کیفیت آب بر اساس مقدار شاخص محاسبه شده (Uddin et al., 2021)

Table 2- Water Quality classification based on value of calculated index (Uddin et al., 2021)

کلاس کیفیت Class of quality	خوبی بد Very bad	بد Bad	متوسط Medium	خوب Good	عالی Excellent
حدود شاخص کیفیت Boundary of quality index	0 - 24	25 - 49	50 - 69	70 - 89	90 - 100

جدول ۳- دسته‌بندی کیفیت آب شرب بر اساس طبقه‌بندی شولر (Schoeller, 1965; Babanezhad et al., 2018)

Table 3- Schoeller classification for drinking water quality (Schoeller, 1965; Babanezhad et al., 2018)

رتبه Rank	کلاس class	Ca ²⁺	Mg ²⁺	Na ⁺	TDS	TH	Cl ⁻	SO ₄ ²⁻	HCO ₃ ⁻
1	خوب Good	<100	<25	<120	<522	<262	<184	<145	<182
2	قابل قبول Permissible	100-198	25-49	120-238	522-1003	262-517	184-362	145-288	182-358
3	نسبتاً مناسب Moderately suitable	198-384	49-95	238-456	1003-1996	517-996	362-700	288-590	358-737
4	نامناسب Unsuitable	384-770	95-194	456-928	1996-4050	996-2010	700-1420	590-1198	737-1495
5	کاملاً نامناسب Quite unsuitable	770-2500	194-387	928-1886	4050-8100	2010-4010	1420-2830	1198-2385	1495-2955
6	غیرقابل شرب Non drinking	>2500	>387	>1886	>8100	>4010	>2830	>2385	>2955

* واحد تمامی پارامترهای کیفیت آب بر حسب میلی گرم در لیتر می‌باشد.

شاخص کیفیت آب شرب سازمان بهداشت جهانی (WHO) (WQI_{WHO})

کیفیت و درجه تناسب آب جهت مصارف شرب می‌تواند با استفاده از یک شاخص کیفی مشخص شود. در برخی از شاخص‌های کیفیت آب، استاندارهای شرب مانند استاندارد شرب WHO، به عنوان یک دستورالعمل حدود مجاز مورد استفاده قرار می‌گیرند (Varol and Adimalla et al., 2018; Yadav et al., 2015; Davraz, 2015; Verma et al., 2020). حدود مجاز و وزن‌های برخی از پارامترهای کیفیت آب جهت مصارف شرب بر اساس استاندارد WHO, 2017 در جدول ۴ ارائه شده است.

وزن مطلق (W_i) پارامترها در جدول ۴ بر اساس درجه اهمیت هر پارامتر به منظور مصارف شرب عددی بین ۱ تا ۵ اختصاص داده می‌شود. حداکثر وزن مطلق پارامترها با توجه به اهمیت زیاد آنها در کیفیت آب شرب به پارامترهای TDS, Cl⁻, SO₄²⁻ و NO₃⁻ و برابر ۵ و حداقل آن به پارامتر HCO₃⁻ و برابر یک، اختصاص داده شده است (Tiwari et al., 2010; Vasanthavigar et al., 2018). وزن نسبی (W_i) پارامترها در جدول ۴ با استفاده از نسبت وزن مطلق هر پارامتر تقسیم بر مجموع وزن کل پارامترها (رابطه ۶) محاسبه می‌شود.

دلایل انتخاب طبقه‌بندی شولر جهت اعتبارسنجی نتایج شاخص تحقیق حاضر شامل (الف) معتبر بودن و کاربرد بسیار زیاد طبقه‌بندی شولر در تحقیقات گذشته جهت مصارف آب شرب، (ب) یکسان بودن پارامترهای کیفیت آب مورد استفاده در شاخص تحقیق حاضر و طبقه‌بندی شولر و (ج) عدم نیاز به محاسبات جدید برای طبقه‌بندی شولر وجود دسته‌بندی جدول و نموداری برای آن می‌باشد.

به منظور اعتبارسنجی مقادیر شاخص تحقیق حاضر، کلاس کیفیت تشخیص داده شده با استفاده از این شاخص با طبقه‌بندی آمده از طبقه‌بندی شولر مقایسه شده است. طبقه‌بندی شولر اولین بار در سال ۱۹۶۵ به منظور ارزیابی کیفیت آب به منظور مصارف شرب انجام شده است (Schoeller 1965, 1967). این طبقه‌بندی بر اساس ۸ پارامتر کلسیم، منیزیم، سدیم، سولفات، کلر، بی‌کربنات، سختی کل و کل مواد جامد محلول مطابق جدول ۳ طبقه‌بندی می‌شود.

جهت اعتبارسنجی شاخص کیفیت آب توسعه داده شده در تحقیق حاضر برای کل ماههای نمونه‌برداری (۳۷۲ ماه) کلاس کیفیت آب بر اساس شاخص و طبقه‌بندی شولر مشخص و با یکدیگر مقایسه شده است.

جدول ۴- وزن و حدود مجاز پارامترهای کیفیت آب در شاخص شرب WHO (Jesuraja et al., 2021)

Table 4- Weight and threshold of water quality parameters in drinking WHO index (Jesuraja et al., 2021)

پارامتر Parameter	وزن مطلق Absolute weight (w_i)	وزن نسبی Relative weight (W_i)	WHO, 2017 حد مجاز 2017 Threshold of WHO, 2017 (mg L ⁻¹)
pH	3	0.083	8.5
TDS	5	0.139	500
HCO ₃ ⁻	1	0.028	300
Cl ⁻	5	0.139	250
SO ₄ ²⁻	5	0.139	400
NO ₃ ⁻	5	0.139	45
Ca ²⁺	3	0.083	75
Mg ²⁺	3	0.083	50
Na ⁺	4	0.111	200
K ⁺	2	0.056	10
مجموع	36	1	-

جدول ۵- طبقه‌بندی کیفیت آب شرب بر اساس مقدار شاخص WQI_{WHO} (Jesuraja et al., 2021)

Table 5- Water Quality classification based on WQI_{WHO} (Jesuraja et al., 2021)

کلاس کیفیت Quality class	عالی Excellent	خوب Good	ضعیف Fair	خیلی ضعیف Very Fair	غیرقابل شرب Non drinking
حدود شاخص کیفیت Threshold of quality index	< 50	50 - 100	100 - 200	200 - 300	> 300

ادامه نتایج چهار مرحله توسعه شاخص (انتخاب پارامترها، زیرشاخص‌سازی، وزن‌دهی و تجمعی شاخص) ارائه شده است. در انتهای بخش نتایج ارزیابی نتایج شاخص توسعه داده شده ارائه شده است.

پیش‌پردازش داده‌ها

بررسی محدوده تغییرات پارامترهای کیفی به منظور تعیین تغییرات کلی مقادیر پارامترها در ۳۴ سال آمار مورد مطالعه (۱۳۶۶-۱۳۹۹) انجام شده است. نمودار ویولن^۱ برای ۱۲ پارامتر کیفیت آب موردن بررسی در ایستگاه‌های هیدرومتری روبار و آستانه در شکل ۳ نشان داده شده است.

شکل ۳ بیانگر بالاتر بودن میانه مقادیر متغیرهای EC, TDS, TH, KCl, سولفات، کلسیم، منیزیم، سدیم و پتاسیم در ایستگاه روبار نسبت به ایستگاه آستانه می‌باشد. دلیل بالاتر بودن مقادیر این متغیرها در ایستگاه روبار نسبت به ایستگاه آستانه می‌تواند عوامل مختلفی مانند اثرات دریاچه سد سفیدرود (حالیت، لایه‌بندی حرارتی، تغذیه‌گرایی و ...) روی متغیرهای کیفیت آب در ایستگاه روبار (بعد از سد) و یا اضافه شدن شاخه‌های فرعی (توتکابن، رشته‌رود، ذیلکی رود و ...) به روداخانه سفیدرود در پایین دست ایستگاه روبار و در نتیجه بهبود متغیرهای کیفی اندازه‌گیری شده در ایستگاه آستانه باشد.

1- Violin plot

$$W_i = w_i / \sum_{i=1}^n w_i \quad (6)$$

در رابطه (۶)، W_i و w_i به ترتیب وزن نسبی و وزن مطلق پارامتر کیفی آام و n تعداد کل پارامترهای کیفی می‌باشد. مقادیر پارامترهای کیفی به منظور محاسبه شاخص WHO با استفاده از رابطه (۷) زیرشاخص‌سازی می‌شوند.

$$q_i = C_i / S_i \times 100 \quad (7)$$

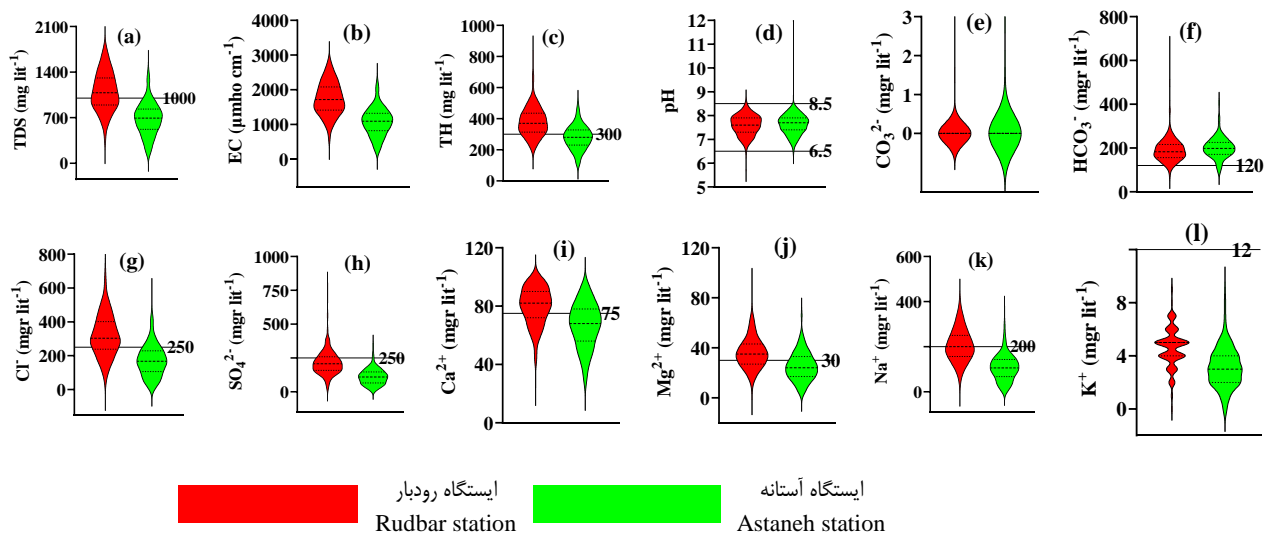
در رابطه (۷)، q_i مقدار زیرشاخص‌سازی شده پارامتر آام، C_i غلاظت هر پارامتر در نمونه و S_i مقدار مجاز هر پارامتر بر اساس استاندارد شرب WHO به میلی‌گرم در لیتر می‌باشد. در مرحله آخر مقدار شاخص WQI_{WHO} از مجموع حاصل ضرب وزن نسبی هر پارامتر در مقدار زیرشاخص‌سازی شده آن محاسبه می‌شود (رابطه (۸)).

$$WQI_{WHO} = \sum_{i=1}^n w_i q_i \quad (8)$$

در رابطه (۸) w_i وزن نسبی هر پارامتر آام، q_i مقدار زیرشاخص‌سازی شده پارامتر و WQI_{WHO} مقدار محاسبه شده شاخص کیفی برای هر نمونه آب می‌باشد. دسته کیفیت آب بر اساس مقدار شاخص WQI_{WHO} بر اساس جدول ۵ می‌باشد.

نتایج و بحث

نتایج تحقیق حاضر بر اساس مراحل شرح داده شده در بخش مواد و روش‌ها (شکل ۱) ارائه شده است. بر این اساس ابتدا نتایج پردازش داده‌ها (حدود تغییرات، ضریب همبستگی و خوشبندی) و در

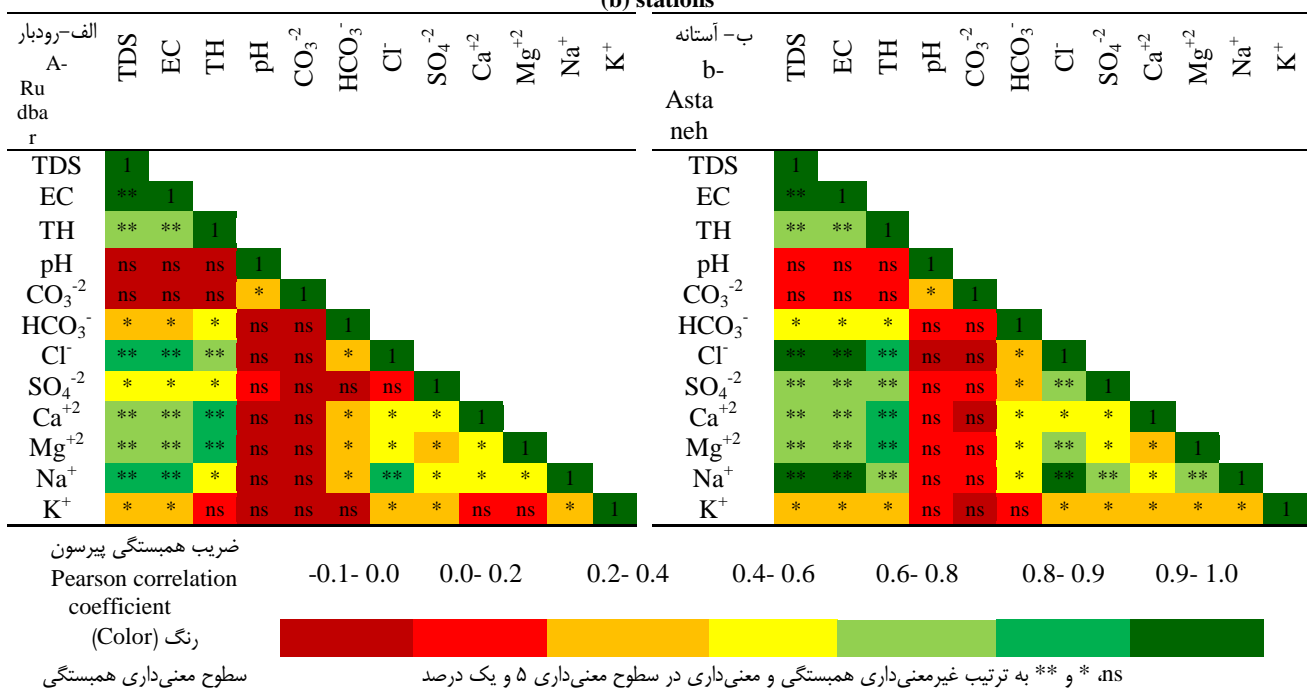


شکل ۳- حدود پارامترهای کیفیت آب ماهانه اندازه‌گیری شده در ایستگاه‌های رودبار و آستانه (۹۹-۱۳۶۶)

Figure 3- Variation of monthly water quality parameters measured in Rudbar and Astaneh stations (1987- 2017)

جدول ۶- مقادیر و معنی داری ضریب همبستگی پیرسون بین متغیرهای کیفیت آب ایستگاه‌های رودبار (الف) و آستانه (ب)

Table 6- Pearson correlation coefficient and significant level between water quality parameters in Rudbar (a) and Astaneh (b) stations



گرفته است. این در حالی است که در ایستگاه آستانه تنها میانه مقادیر بی کربنات (شکل ۳f) بالاتر از مقدار مجاز قرار دارد و در مورد سایر پارامترهای کیفی اندازه گیری شده در ایستگاه آستانه شامل pH، کلر، سولفات و سدیم، ۷۵ درصد داده ها (چارک سوم) کمتر از

بر اساس شکل ۳ بیشتر از ۵۰ درصد داده های اندازه گیری شده پارامترهای کیفی شامل TDS، TH، بی کربنات، کلر، کلسیم و منیزیم در ایستگاه رودبار فراتر از حد مجاز استاندارد WHO (جدول ۱) قرار دارند. به عبارتی میانه ای این پارامترها بالاتر از حد مجاز قرار

تعداد خوش‌ها در نمودار دندروگرام با توجه به موقعیت برش^۴ شاخص‌های دندروگرام بستگی دارد. به عنوان مثال اگر جهت تعیین تعداد خوش‌ها در **شکل ۴**، مقدار مشابهت ضریب همبستگی پیرسون برابر با ۰/۸۰ در نظر گرفته شود، هشت خوش برای ۱۲ پارامترهای کیفیت آب اندازه‌گیری شده در ایستگاه‌های روdbار و آستانه مشخص می‌شود. بر این اساس در ایستگاه روdbار (**شکل ۴-الف**)، پارامترهای pH با اندازه‌گیری شده در خوش^۱، pH، TDS، EC، Ca^{2+} و TH در خوش^۲ و سایر پارامترها شامل Mg^{2+} , Na^+ , Cl^- , SO_4^{2-} , HCO_3^- , K^+ , CO_3^{2-} هر کدام در خوش‌های ۳ تا ۸ قرار می‌گیرند. همچنین در ایستگاه آستانه (**شکل ۴-ب**), پارامترهای EC، TDS، Na^+ , Cl^- و TH در خوش^۱ و سایر پارامترها شامل Mg^{2+} , Ca^{2+} , SO_4^{2-} , HCO_3^- و CO_3^{2-} pH هر کدام در خوش‌های ۲ تا ۸ قرار می‌گیرند. این خوش‌بندی بیانگر نتایج همبستگی بین پارامترهای کیفیت آب (**جدول ۶**) می‌باشد.

انتخاب پارامترهای شاخص

در تحقیق حاضر با استفاده از تحلیل همبستگی و روش‌های چندمتغیره آماری شامل خوش‌بندی و PCA پارامترهای مورد استفاده در شاخص معرفی شده، انتخاب شده است. در پیش‌پردازش اولیه داده‌های کیفیت آب مشخص شد که اکثر مقادیر اندازه‌گیری شده برای پارامتر CO_3^{2-} برابر صفر ثبت شده است. به طوری که از ۳۷۲ داده اندازه‌گیری شده از پارامتر کربنات، ۳۵۸ داده (۹۶ درصد) در ایستگاه روdbار و ۳۵۰ داده (۹۴ درصد) در ایستگاه آستانه برابر صفر ثبت شده است (**شکل ۳e**). به این ترتیب به دلیل صفر بودن مقدار پارامتر کربنات در اکثر ماههای اندازه‌گیری شده، این پارامتر از پارامترهای مورد استفاده در شاخص حذف شد.

حد مجاز می‌باشد.

ماتریس همبستگی

بررسی همبستگی بین پارامترهای کیفیت آب به منظور مشخص کردن ارتباط بین انواع پارامترها انجام می‌شود. **جدول ۶** مقادیر همبستگی بین این متغیرها را در دو ایستگاه هیدرومتری روdbار و آستانه نشان می‌دهد.

بر اساس **جدول ۶** از بین ۱۱ متغیر کیفیت آب مورد بررسی دو پارامتر pH و CO_3^{2-} کمترین مقادیر ضریب همبستگی را با سایر متغیرهای کیفی دارند، به نحوی که این دو متغیر تنها با یکدیگر مقادیر همبستگی معنی‌داری در سطح پنج درصد دارند. از طرف دیگر بیشتر همبستگی بین متغیرهای TDS و EC با سایر متغیرهای کیفی مورد بررسی وجود دارد به نحوی که این دو متغیر با تمامی متغیرها به جزء pH و CO_3^{2-} ضریب همبستگی معنی‌داری در سطح یک یا پنج درصد دارند. همچنین بالاترین ضریب همبستگی پیرسون در بین متغیرهای مورد بررسی مربوط به دو پارامتر TDS و EC و برابر ۰/۹۹ برای هر دو ایستگاه روdbار و آستانه است. بین دو ایستگاه روdbار و آستانه تفاوت در برخی مقادیر ضریب همبستگی بین متغیرهای یکسان زیاد است. به عنوان نمونه مقدار همبستگی ایستگاه آستانه برابر ۰/۶۸ و معنی‌دار در سطح یک درصد می‌باشد. مشابه این تفاوت‌ها در مقادیر ضریب همبستگی بین متغیرهای پتاسیم-منیزیم و پتاسیم-کلسیم نیز مشاهده می‌شود که در ایستگاه روdbار رابطه‌ای غیرمعنی‌دار و در ایستگاه آستانه معنی‌داری در سطح پنج درصد دارند.

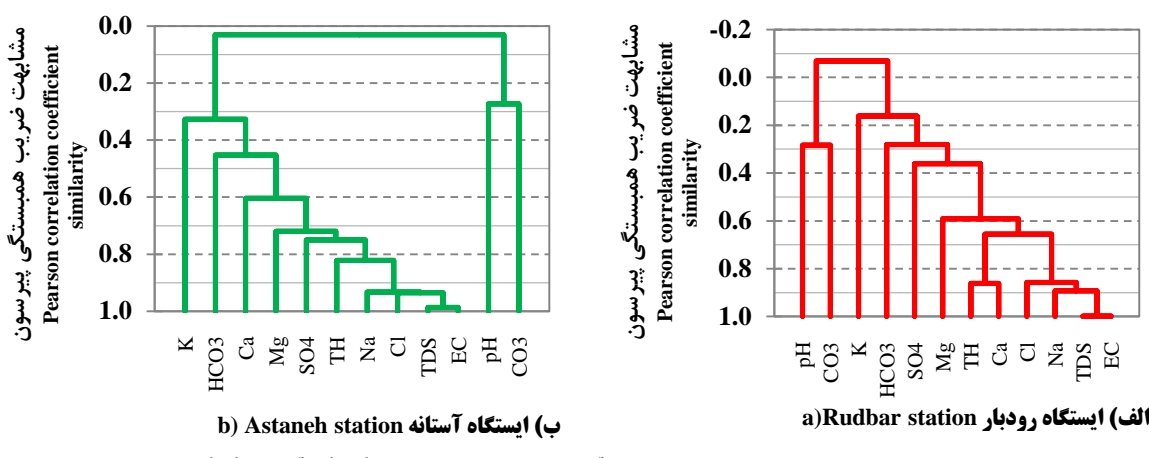
خوش‌بندی^۱

هدف از خوش‌بندی پارامترهای کیفیت آب، ارزیابی و دسته‌بندی پارامترهای کیفیت آب به لحاظ مشابهت‌های بین آنها می‌باشد. در تحقیق حاضر به منظور خوش‌بندی ۱۲ پارامتر کیفیت آب از روش خوش‌بندی سلسله مراتبی تجمعی^۲ (AHC) استفاده شده است. در این روش با استفاده از مشابهت^۳ پارامترهای کیفیت آب از لحاظ ضریب همبستگی پیرسون خوش‌بندی انجام شده است. دندروگرام حاصل از خوش‌بندی پارامترهای کیفیت آب در دو ایستگاه روdbار و آستانه در **شکل ۴** نشان داده شده است.

1- Clustering

2- Agglomerative Hierarchical Clustering (AHC)

3- Similarity



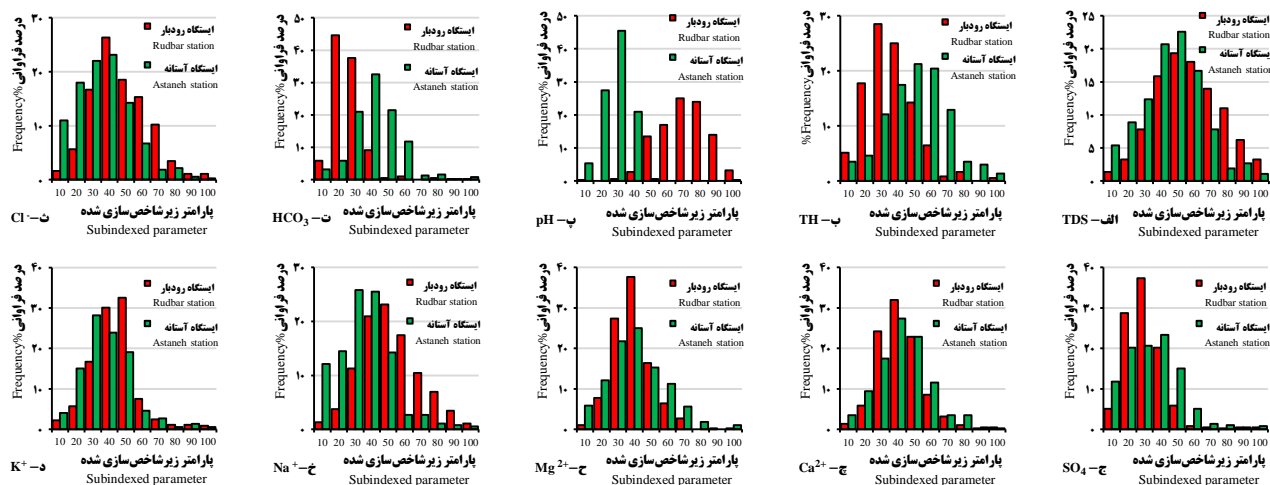
شکل ۴- دندروگرام پارامترهای کیفیت آب در ایستگاه‌های رودبار (الف) و آستانه (ب)

Figure 4- Dendrogram of water quality parameters in Rudbar (a) and Astaneh (b) stations

سولفات (SO_4^{2-})، بی‌کربنات (HCO_3^-)، منیزیم (Mg^{2+})، سدیم (Na^+)، کلسیم (Ca^{2+}) و پاتاسیم (K^+) می‌باشد.

زیرشاخص‌سازی پارامترها

زیرشاخص‌سازی برای ۱۰ پارامتر کیفی انتخاب شده با استفاده از روابط (۱) و (۲) انجام شده است. بر این اساس مقادیر پارامترها به عددی بی‌بعد بین صفر تا ۱۰۰ تبدیل می‌شود تا هم‌زمان اثر واحدها و دامنه تغییرات متفاوت پارامترها در مقدار شاخص کیفی اثرگذار نباشد. فراوانی پارامترهای کیفیت آب در ایستگاه‌های رودبار و آستانه پس از مرحله زیرشاخص‌سازی در شکل ۵ نشان داده شده است.



شکل ۵- فراوانی مقادیر پارامترهای کیفیت آب در ایستگاه‌های رودبار و آستانه پس از مرحله زیرشاخص‌سازی

Figure 5- Frequency of water quality parameters in Rudbar and Astaneh stations after sub-indexing step

همچنین با توجه به همبستگی بالای بین پارامترهای TDS و EC (ضریب همبستگی پیرسون حدود ۹۹ درصد) و قرار گرفتن این دو پارامتر در یک خوش (شکل ۴)، از بین دو، پارامتر TDS به دلیل مهم‌تر بودن جهت مصارف شرب (قرار داشتن جزء پارامترهای استاندارد WHO) و قرار داشتن در اکثر شاخص‌های کیفی به عنوان اولین پارامتر شاخص انتخاب شد. با توجه به هدف استفاده حداقلی از داده‌های اندازه‌گیری شده و لحاظ تمام پارامترهای موثر جهت مصارف شرب در شاخص توسعه داده شده، سایر پارامترهای کیفیت آب اندازه‌گیری شده در توسعه شاخص کیفی تحقیق حاضر استفاده شده است. به عبارتی پارامترهای انتخاب شده جهت توسعه شاخص کیفیت آب تحقیق حاضر دارای ۱۰ پارامتر کیفیت آب شامل کل مواد جامد محلول (TDS)، سختی کل (TH)، اسیدیته (Cl⁻)، کلر (pH)،

جدول ۷- مقادیر بردار ویژه، سهم پارامترها و ضریب امتیاز مولفه‌های اصلی ۱ و ۲ پارامترهای کیفی

Table 7- Eigenvectors, contribution and scores of quality parameters principal components 1 and 2

پارامتر Parameter	ایستگاه رودبار Rudbar st.		ایستگاه آستانه Astaneh st.		ایستگاه رودبار Rudbar st.		ایستگاه آستانه Astaneh st.		ایستگاه رودبار Rudbar st.		ایستگاه آستانه Astaneh st.	
	بردار ویژه Eigenvector		بردار ویژه Eigenvector		سهم پارامترها Contribution		سهم پارامترها Contribution		ضریب امتیاز Score		ضریب امتیاز Score	
	D1	D2	D1	D2	D1	D2	D1	D2	D1	D2	D1	D2
TDS	0.41	0.05	0.38	-0.01	16.5	0.2	14.2	0.0	0.17	0.05	0.14	-0.01
EC	0.41	0.06	0.37	-0.01	16.5	0.2	13.9	0.0	0.17	0.05	0.14	0.00
TH	0.37	-0.07	0.36	-0.01	13.8	0.6	12.8	0.0	0.15	-0.06	0.14	-0.01
pH	-0.05	0.43	0.02	0.69	0.2	18.5	0.0	48.0	-0.02	0.37	-0.01	0.61
CO ₃ ²⁻	-0.05	0.32	0.01	0.71	0.2	10.4	0.0	49.8	-0.02	0.28	-0.01	0.62
HCO ₃ ⁻	0.17	-0.50	0.22	-0.03	2.9	25.1	4.7	0.0	0.07	-0.43	0.08	-0.02
Cl ⁻	0.35	-0.10	0.35	-0.07	12.5	1.0	12.5	0.2	0.15	-0.09	0.14	0.05
SO ₄ ²⁻	0.19	0.52	0.31	0.10	3.8	27.2	9.7	1.4	0.08	0.45	0.12	0.09
Ca ²⁺	0.32	0.03	0.28	-0.06	10.5	0.1	8.0	0.2	0.13	0.03	0.11	-0.05
Mg ²⁺	0.31	-0.15	0.30	0.04	9.4	2.5	9.2	0.3	0.13	-0.13	0.11	0.04
Na ⁺	0.35	0.10	0.35	-0.01	12.5	0.9	12.2	0.0	0.15	0.09	0.13	-0.01
K ⁺	0.11	0.36	0.17	-0.01	1.3	13.2	2.8	0.0	0.05	0.31	0.06	-0.01

فاکتورهای اصلی ^۳ ۱ و ۲ برای پارامترهای کیفی ایستگاه‌های رودبار و آستانه در **جدول ۷** ارائه شده است.

مقادیر بردار ویژه در **جدول ۷** نشان‌دهنده مهم‌تر بودن پارامترهای کیفیت آب در هر مولفه اصلی می‌باشد. در مولفه‌های اصلی اول (D1) ایستگاه‌های رودبار و آستانه به ترتیب مربوط به پارامترهای TDS، pH، EC، TH، Cl⁻، Na⁺ می‌باشد. با توجه به متعامد بودن مولفه‌های اصلی یک (D1) و دو (D2)، مقادیر بردارهای ویژه دو پارامتر pH و CO₃²⁻ که در مولفه D1 حداقل می‌باشد در مولفه D2 برای هر دو ایستگاه نسبت به سایر پارامترهای کیفی بیشتر می‌باشد. سهم پارامترها در حقیقت نشان‌دهنده درصد پوشش هر پارامتر از واریانس کل پارامترها در هر مولفه اصلی می‌باشد. در مولفه اصلی اول پارامتر TDS در ایستگاه رودبار و آستانه به ترتیب با سهم ۱۶/۵ و ۱۴/۲ درصد بیشترین سهم از پوشش واریانس کل پارامترها را دارد. همچنین در مولفه اصلی دوم سهم پارامترهای pH و CO₃²⁻ نسبت به سایر پارامترها بیشتر می‌باشد.

ضریب امتیاز مولفه‌ها در حقیقت بیانگر ضریب هر یک از پارامترهای کیفیت آب در هر مولفه می‌باشد. به این ترتیب مولفه اصلی اول در هر دو ایستگاه شامل پارامترهای TDS، pH، EC، TH، Cl⁻، Na⁺ می‌باشد. پارامترهای موثر در مولفه اصلی دوم در دو ایستگاه رودبار و آستانه متفاوت است.

توزیع اکثر پارامترهای کیفیت آب مورد بررسی در **شکل ۵** در ایستگاه‌های رودبار و آستانه مشابه یکدیگر می‌باشند. البته تفاوت نسبتاً زیادی در توزیع پارامترهای TH (شکل ۵-ب)، pH (شکل ۵-پ) و HCO₃⁻ (شکل ۵-ت) بین ایستگاه‌های رودبار و آستانه مشخص می‌باشد. به طوری که حدود ۹۷ مقدار زیرشناختی شده pH در ایستگاه رودبار بیشتر از ۵۰ می‌باشد، اما حدود ۹۹ درصد مقادیر این پارامتر در ایستگاه آستانه کمتر از ۵۰ می‌باشد. علت تفاوت بسیار زیاد توزیع داده‌های پارامتر pH در دو ایستگاه رودبار و آستانه، مقدار ماکزیمم برابر ۱۱/۵ (متغیر X_۱ برای پارامتر pH) در ایستگاه آستانه می‌باشد. چون این عدد بزرگ باعث بزرگ شدن مخرج کسر در روابط (۱) و (۲) شده و در نتیجه کوچکتر شدن مقدار زیرشناختی شده پارامتر می‌شود. در مورد پارامترهای TH و HCO₃⁻ نیز مقدار حداقل اندازه‌گیری شده این پارامترها در ایستگاه رودبار (**جدول ۱**) نیز باعث کوچک شدن مقادیر زیرشناختی شده این پارامترها در ایستگاه رودبار نسبت به ایستگاه آستانه شده است.

تعیین وزن پارامترها

به منظور محاسبه وزن مربوط به پارامترهای کیفیت آب انتخاب شده از روش PCA استفاده شده است. با وجود حذف دو پارامتر EC و CO₃²⁻ در مرحله انتخاب پارامترها، به منظور بررسی جامع، هر ۱۲ پارامتر کیفیت آب نیز در این مرحله مورد تحلیل قرار گرفته است. **جدول مربوط به بردار ویژه^۱، سهم پارامترها^۲ و ضریب امتیاز**

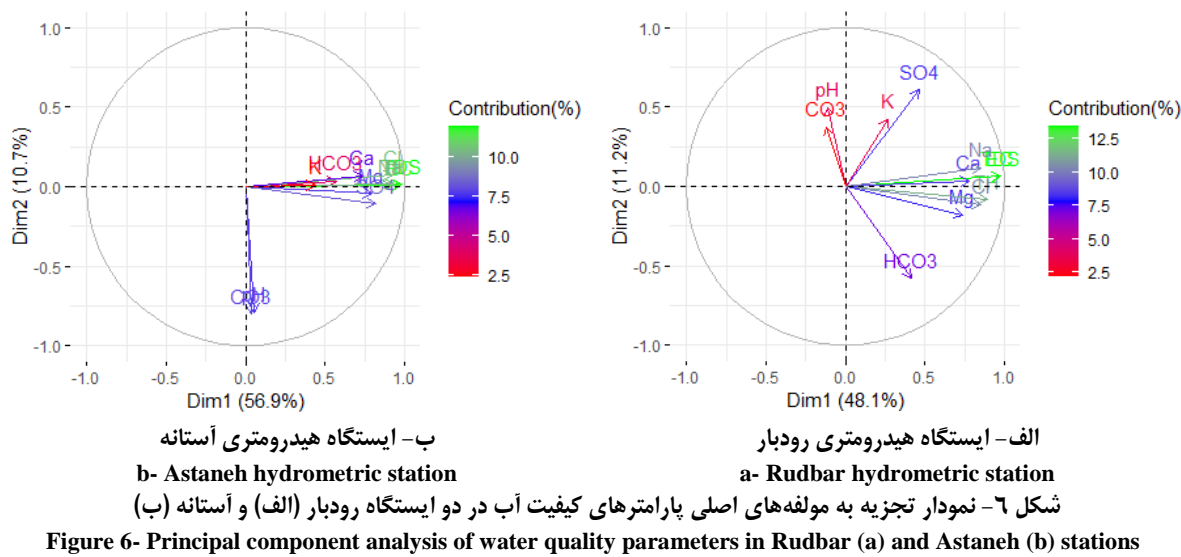


Figure 6- Principal component analysis of water quality parameters in Rudbar (a) and Astaneh (b) stations

پارامترهای کیفی است. به عبارتی هر چه این زاویه کوچکتر باشد، همبستگی بین پارامترها بیشتر می‌باشد. کوچکتر بودن زاویه بین پارامترها در ایستگاه آستانه (شکل ۶-ب) نسبت به ایستگاه رودبار (شکل ۶-الف) نشان دهنده همبستگی بیشتر پارامترهای کیفیت آب در ایستگاه آستانه می‌باشد. **جدول ۸** وزن‌های محاسبه شده برای پارامترهای کیفی انتخاب شده برای توسعه شاخص کیفی تحقیق حاضر را بر اساس رابطه^(۳) نشان می‌دهد.

محاسبات شاخص و اعتبارسنجی

به منظور ارزیابی نتایج شاخص کیفی توسعه داده شده، نتایج شاخص تحقیق حاضر با شاخص کیفیت آب شرب سازمان بهداشت جهانی (WQI_{WHO}) و طبقه‌بندی شرب شولر مقایسه شده است. **شکل ۷-الف** فراوانی (درصد از ۳۷۲ داده کیفیت آب اندازه‌گیری شده) دسته‌بندی شاخص کیفیت آب قرار گرفته در دسته‌های عالی تا بسیار بد (جدول ۷-۲) را برای سه شاخص شامل شاخص جدید توسعه داده شده، شاخص WQI WHO و دسته‌بندی شولر نشان می‌دهد.

با توجه به **شکل ۷-الف** بر اساس شاخص WHO، WHO درصد از نمونه‌های کیفیت آب ایستگاه رودبار در دسته‌های خوب و متوسط قرار می‌گیرد. درصد نمونه‌های این دو دسته برای شاخص جدید توسعه داده شده و دسته‌بندی شولر به ترتیب برابر $\frac{80}{4}$ و $\frac{97}{6}$ درصد می‌باشد. بیشترین تفاوت بین فراوانی دسته‌های مختلف بین شاخص‌ها در ایستگاه رودبار (شکل ۷-الف) در دسته کیفیت بد و به ترتیب برابر $\frac{18}{8}$ ، $\frac{1}{3}$ و $\frac{1}{9}$ درصد برای شاخص WHO، شاخص جدید و دسته‌بندی شولر اتفاق افتاده است. بیشترین درصد کیفیت نمونه‌های آب اندازه‌گیری شده در ایستگاه آستانه (شکل ۷-ب) در دسته خوب برای شاخص WHO، شاخص جدید و دسته‌بندی

به طوری که در مولفه اصلی دوم ایستگاه پارامترهای HCO_3^{2-} ، SO_4^{2-} ، K^+ و Na^+ دارای ضرایب بزرگتری نسبت به سایر پارامترها و در مولفه اصلی دوم ایستگاه آستانه ضریب پارامترهای pH و CO_3^{2-} نسبت به سایر پارامترها بیشتر می‌باشند. **شکل ۶** نمودار دوگانه^۱ پارامترهای کیفیت آب در دو ایستگاه رودبار و آستانه را نشان می‌دهد.

طول بردارها در **شکل ۶** بیانگر سهم مشارکت هر یک از پارامترهای کیفیت آب در پوشش واریانس کل پارامترها می‌باشد. بزرگتر بودن طول این بردار نشان دهنده سهم و اثر بیشتر آن پارامتر در بین کل پارامترهای مورد بررسی است. **شکل ۶** بیانگر سهم حداقلی پارامتر TDS در هر دو ایستگاه رودبار و آستانه نسبت به سایر پارامترهای کیفی می‌باشد. همچنین پارامترهای pH و CO_3^{2-} کمترین سهم را در پوشش واریانس کل تغییرات پارامترهای اندازه‌گیری شده در ایستگاه‌های رودبار و آستانه از خود نشان می‌دهند. مجموع درصد پوشش واریانس کل پارامترهای مورد بررسی در مولفه‌های اصلی اول و دوم ایستگاه‌های رودبار و آستانه به ترتیب برابر $\frac{59}{3}$ درصد (**شکل ۶-الف**) و $\frac{67}{6}$ درصد (**شکل ۶-الف**) می‌باشد. این نکته بیانگر پوشش بیشتر مولفه‌های اصلی اول و دوم در ایستگاه آستانه نسبت به ایستگاه رودبار می‌باشد. به عبارتی با توجه به همبستگی قوی تر بین پارامترهای کیفیت آب در ایستگاه آستانه نسبت به ایستگاه رودبار، مولفه‌های اصلی قادرند رابطه خطی قوی تری بین پارامترهای کیفیت آب در ایستگاه آستانه نسبت به رودبار برقرار سازند. در **شکل ۶** کسینوس زاویه بین بردارها بیانگر همبستگی بین

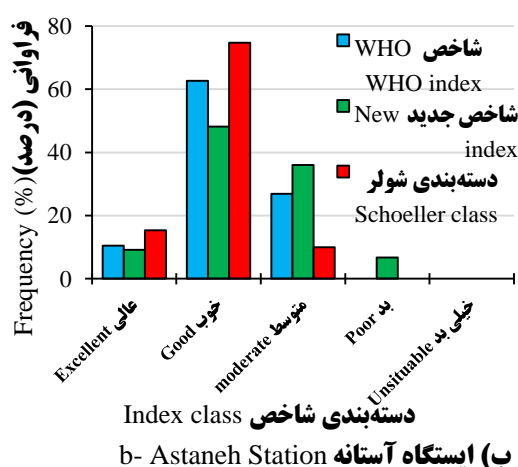
1- Biplots

با توجه به چهار مرحله‌ی توسعه یک شاخص کیفی (انتخاب پارامترها، زیرشاخص‌سازی، وزن دهن و تجمیع شاخص)، تفاوت روش مورد استفاده در هر یک از این مراحل، باعث تفاوت در نتایج حاصل از شاخص خواهد شد. دو مرحله بسیار مهم توسعه شاخص کیفی که بسیار روی نتایج آن اثر دارد، مراحل زیرشاخص‌سازی و وزن دهن پارامترها می‌باشد (Uddin *et al.*, 2021). در تحقیق حاضر زیرشاخص‌سازی با استفاده ازتابع میان‌یابی خطی (روابط ۱ و ۲) انجام شده است. این روش در عین سادگی به مقادیر حداقل و حداکثر پارامترها بسیار وابسته می‌باشد. به طوری که اگر مقادیر حداقل و حداکثر پارامترها به نسبت حدود داده‌ها بسیار متفاوت باشد، توزیع فراوانی پارامترها بعد از زیرشاخص‌سازی شدن از لحاظ پارامترهای میانگین، چولگی و کشیدگی تغییرات زیادی خواهد داشت (شکل ۵-پ).

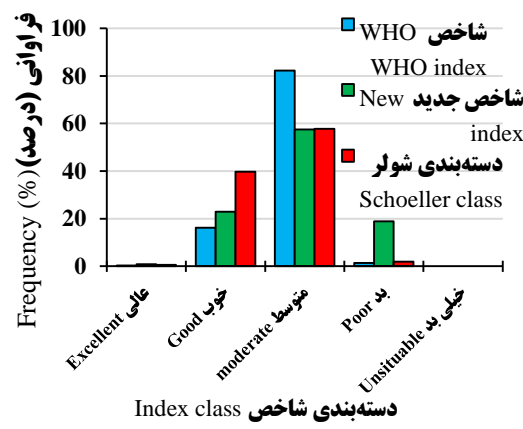
شولر به ترتیب برابر ۴۸/۱، ۶۲/۷ و ۷۴/۷ درصد قرار گرفته است. درصد نمونه‌های دسته کیفیت آب متوسط در ایستگاه آستانه (شکل ۷-پ) بر اساس شاخص WHO، شاخص جدید و دسته‌بندی شولر به ترتیب برابر ۳۶/۰، ۲۶/۹ و ۹/۹ درصد می‌باشد. نتایج حاصل از شکل ۷-پ از سخت‌گیرتر بودن شاخص جدید توسعه داده شده نسبت به شاخص WHO و دسته‌بندی شولر می‌باشد. به عبارتی دسته کیفیت آب در شاخص جدید توسعه داده شده نسبت به شاخص WHO و دسته‌بندی شولر در دسته نامناسب‌تری به لحاظ مصارف شرب قرار می‌گیرد. به طوری که بیشترین تفاوت فراوانی نمونه‌های قرار گرفته در دو ایستگاه رودبار و آستانه در دسته کیفیت بد می‌باشد. به عنوان مثال در ایستگاه آستانه (شکل ۷-پ) از ۳۷۲ نمونه مورد بررسی، در حالی که بر اساس شاخص WHO و دسته‌بندی شولر هیچ نمونه‌ای در این دسته قرار نگرفته است، اما بر اساس شاخص جدید ۲۵ نمونه ۶/۷ درصد (جزء کلاس کیفیت بد لحاظ شده است).

جدول ۸- وزن محاسبه شده برای پارامترهای کیفیت آب با استفاده از روش PCA
Table 8- The calculated weights for water quality parameters using PCA method

پارامتر کیفیت آب منتخب Selected water quality parameter	TDS	TH	pH	HCO_3^-	Cl^-	SO_4^{2-}	Ca^{2+}	Mg^{2+}	Na^+	K^+
میانگین بردارهای ویژه (α_i)	0.38	0.36	0.19	0.12	0.35	0.31	0.28	0.30	0.35	0.11
Average of Eigenvectors										
واریانس مولفه اصلی (λ_1)	14.32	13.85	2.24	1.71	12.45	9.80	9.95	9.20	12.15	2.82
Variance of PC ($P^{(j)}$) واریانس تجمعی	33.10	34.95	6.27	4.25	32.59	39.71	27.57	27.40	31.97	9.98
Accumulated variance (Ω_i) وزن محاسبه شده	0.163	0.142	0.068	0.048	0.135	0.077	0.102	0.102	0.133	0.031
Calculated weight										



ب) ایستگاه آستانه



الف) ایستگاه رودبار

شکل ۷- فراوانی طبقات شاخص‌های کیفیت آب در ایستگاه رودبار (الف) و آستانه (ب)

Figure 7- The frequency of water quality indices class in Rudbar (a) and Astaneh (b) stations

و پتاسیم (K^+) اندازه‌گیری شده طی سال‌های ۱۳۹۹-۱۳۶۶ در ایستگاه‌های هیدرومتری رودبار و آستانه واقع روی رودخانه سفیدرود استفاده شده است. به منظور توسعه شاخص جدید، روش‌های چندمتغیره آماری مانند خوشبندی سلسله مراتبی تجمعی (AHC) و تجزیه به مولفه‌های اصلی (PCA) با استفاده از بسته‌های "cluster" و "factoextra" در نرم‌افزار R 4.1.1 به کار رفته است. به منظور توسعه شاخص کیفی علاوه بر انجام چهار مرحله کلی انتخاب پارامترها، زیرشاخص سازی، وزن دهی و تجمعی شاخص، پردازش‌های مانند تحلیل همبستگی نیز روی داده‌ها انجام شده است. همچنین به منظور ارزیابی شاخص تحقیق حاضر، نتایج شاخص جدید توسعه داده شده با شاخص کیفیت آب شرب WHO و دسته‌بندی کیفیت آب شرب شولر مقایسه شده است. آنالیز همبستگی بین پارامترهای TH، EC و TDS با Ca^{2+} , Mg^{2+} , Cl^- و pH در سطح با یکدیگر و همچنین با پارامترهای Na^+ ، EC و TDS معنی‌داری یک درصد در هر دو ایستگاه آستانه و رودبار دارد. از طرف دیگر کمترین مقادیر ضریب همبستگی پیرسون مربوط به پارامترهای CO_3^{2-} با سایر پارامترهای کیفی و به صورت غیرمعنی‌دار است. نتایج خوشبندی به روش AHC حاکی از قرارگیری اغلب پارامترهای کیفیت آب در خوش‌های مجزا می‌باشد. به طوری که تنها پارامترهای خوش قرار می‌گیرند. با توجه به درجه اهمیت پارامترهای کیفیت آب چهت مصارف شرب و تحلیل همبستگی و خوشبندی انجام شده، دو پارامتر EC و CO_3^{2-} از ۱۲ پارامتر مورد بررسی اولیه حذف و پارامتر باقیمانده به منظور توسعه شاخص جدید کیفیت آب استفاده شده است. وزن دهی پارامترها با استفاده از روش PCA حاکی از اختصاص بیشترین و کمترین وزن به ترتیب به پارامترهای TDS و K^+ و برابر $163/0$ و $0/031$ می‌باشد. همچنین نتایج حاکی از پوشش $59/3$ و $67/6$ درصدی مولفه‌های اصلی اول و دوم از واریانس تغییرات کل پارامترهای کیفیت آب مورد بررسی به ترتیب در ایستگاه‌های رودبار و آستانه می‌باشد. نتایج دسته‌بندی کیفیت آب بیانگر قرار گرفتن به ترتیب $(40/5, 16/4, 40/4)$ و $(23/7, 73/1, 57/3)$ درصد (داده‌های ایستگاه‌های رودبار و آستانه در ردی خوب و عالی) جهت مصارف شرب بر اساس دسته‌بندی شولر، شاخص WHO و شاخص جدید می‌باشد.

این مسئله اهمیت انتخاب روشی مناسب مانند استفاده از روش‌های غیرقطعی (فازی) و هوشمند (ماشین یادگیری) به منظور زیرشاخص سازی پارامترها را نشان می‌دهد. وزن دهی پارامترها نیز با توجه به نوع تابع تجمعی به کار رفته اثر زیادی روی نتایج شاخص کیفیت آب دارد. روش ساده‌ی مورد استفاده در شاخص WHO براز و وزن دهی به پارامترها از معایب این شاخص می‌باشد. به منظور وزن دهی موثرتر به پارامترها باید از روش‌های چندمتغیره آماری مانند خوشبندی، تحلیل فاکتور و تجزیه به مولفه‌های اصلی برهه گرفت. به طور کلی مقایسه شاخص جدید توسعه داده شده با شاخص (Schoeller, 1965) WHO نشان‌دهنده سخت‌گیری بیشتر شاخص جدید در دسته‌بندی کیفیت آب جهت مصارف شرب است. هر شاخص کیفیت آب توسعه داده شده به منظور ارزیابی عدم قطبیت و نتایج حاصل از آن، باید در مورد داده‌هایی با مشخصات مختلف از لحظه دامنه تغییرات با مقادیر حدی (حداقل و حداکثر) متفاوت مورد آزمون قرار داده شود. شاخص توسعه داده شده در تحقیق حاضر نیز از این قاعده مستثنی نمی‌باشد و به منظور ارزیابی بهتر نتایج حاصل از آن پیشنهاد می‌شود با داده‌های سایر ایستگاه‌های هیدرومتری مورد ارزیابی و تحلیل قرار گیرد. حذف پارامتر کربنات به دلیل صفر بودن مقدار این پارامتر در اکثر ماههای اندازه‌گیری شده در دو ایستگاه مورد مطالعه، نکته‌ای است که ممکن است در سایر ایستگاه‌های مورد بررسی اتفاق نیفتد و به عبارتی این پارامتر باید جزء پارامترهای مورد بررسی در شاخص، منظر قرار گیرد. همچنین یکی از نکات مهم دیگری که باید در استفاده از هر شاخص کیفیت آب از جمله شاخص تحقیق حاضر در نظر گرفته شود، بررسی حدود مجاز پارامترهایی از کیفیت آب است که در این شاخص‌ها در نظر گرفته نشده است.

نتیجه‌گیری

تحقیق حاضر با هدف توسعه و معرفی یک شاخص جدید کیفیت آب شرب (SDWQI) با استفاده از پارامترهای کیفیت آب اندازه‌گیری شده در ایستگاه‌های هیدرومتری رودخانه‌ی سفیدرود انجام شده است. به این منظور از داده‌های ماهانه ۱۲ پارامتر کیفیت آب شامل مواد جامد محلول (TDS)، هدایت الکتریکی (EC)، سختی کل (TH)، اسیدیته (pH)، کلر (Cl^-), سولفات (SO_4^{2-}), کربنات (CO_3^{2-}), کربنات (HCO_3^-), مینزیم (Mg^{2+}), سدیم (Na^+), کلسیم

منابع

- Abbasi, T., & Abbasi, S.A. (2012). *Water quality indices*. Elsevier.
- Adimalla, N., & Venkatayogi, S. (2018). Geochemical characterization and evaluation of groundwater suitability for domestic and agricultural utility in semi-arid region of Basara, Telangana State, South India. *Applied Water Science* 8(1): 1-14. <https://doi.org/10.1007/s13201-018-0682-1>.
- Babanezhad, E., Qaderi, F., & Ziri, M.S. (2018). Spatial modeling of groundwater quality based on using Schoeller diagram in GIS base: a case study of Khorramabad, Iran. *Environmental Earth Sciences* 77(9): 1-12. <https://doi.org/10.1007/s12665-018-7541-0>.
- Brown, R.M., McClelland, N.I., Deininger, R.A., & Tozer, R.G. (1970). A water quality index-do we dare. *Water and Sewage Works* 117(10).
- Casillas-García, L.F., de Anda, J., Yebra-Montes, C., Shear, H., Díaz-Vázquez, D., & Gradilla-Hernández, M.S. (2021). Development of a specific water quality index for the protection of aquatic life of a highly polluted urban river. *Ecological Indicators* 129: 107899. <https://doi.org/10.1016/j.ecolind.2021.107899>.
- Cotruvo, J.A. (2017). WHO guidelines for drinking water quality: first addendum to the fourth edition. *Journal-American Water Works Association* 109(7): 44-51. <https://doi.org/10.5942/jawwa.2017.109.0087>.
- Dadolahi-Sohrab, A., Arjomand, F., & Fadaei-Nasab, M. (2012). Water quality index as a simple indicator of watersheds pollution in southwestern part of Iran. *Water and Environment Journal* 26(4): 445-454. <https://doi.org/10.1111/j.1747-6593.2011.00303.x>.
- Dao, V., Urban, W., & Hazra, S.B. (2020). Introducing the modification of Canadian water quality index. *Groundwater for Sustainable Development* 11: 100457. <https://doi.org/10.1016/j.gsd.2020.100457>.
- Darapu, S.S.K., Sudhakar, B., Krishna K.S.R., Rao, P.V., & Sekhar, M.C. (2011). Determining water quality index for the evaluation of water quality of river Godavari. *International Journal of Environmental Research and Application* 1: 174-18.
- Dunnette, D.A. (1979). A geographically variable water quality index used in Oregon. *Journal of Water Pollution Control Federation* 53-61.
- Grubbs, F.E. (1950). Sample criteria for testing outlying observations. *The Annals of Mathematical Statistics* 27-58.
- Horton, R.K. (1965). An index number system for rating water quality. *Journal of the Water Pollution Control Federation* 37(3): 300-306.
- Hoseinzadeh, E., Khorsandi, H., Wei, C., & Alipour, M. (2015). Evaluation of Aydughmush river water quality using the national sanitation foundation water quality index (NSFWQI), river pollution index (RPI), and forestry water quality index (FWQI). *Desalination and Water Treatment* 54(11): 2994-3002. <https://doi.org/10.1080/19443994.2014.913206>.
- Jesuraja, K., Selvam, S., & Murugan, R. (2021). GIS-based assessment of groundwater quality index (DWQI and AWQI) in Tiruchendur Coastal City, Southern Tamil Nadu, India. *Environmental Earth Sciences* 80(7): 1-17. <https://doi.org/10.1007/s12665-021-09542-5>.
- Kannel, P.R., Lee, S., Lee, Y.S., Kanel, S.R., & Khan, S.P. (2007). Application of water quality indices and dissolved oxygen as indicators for river water classification and urban impact assessment. *Environmental monitoring and assessment* 132(1): 93-110. <https://doi.org/10.1007/s10661-006-9505-1>.
- Kumar, S., & Sangeetha, B. (2020). Assessment of ground water quality in Madurai city by using geospatial techniques. *Groundwater for Sustainable Development* 10: 100297. <https://doi.org/10.1016/j.gsd.2019.100297>.
- Liou, S.M., Lo, S.L., & Wang, S.H. (2004). A generalized water quality index for Taiwan. *Environmental Monitoring and Assessment* 96(1): 35-52. <https://doi.org/10.1023/B:EMAS.0000031715.83752.a1>.
- Lobato, T.C., Hauser-Davis, R.A., Oliveira, T.F., Silveira, A.M., Silva, H.A.N., Tavares, M.R.M., & Saraiva, A.C.F. (2015). Construction of a novel water quality index and quality indicator for reservoir water quality evaluation: A case study in the Amazon region. *Journal of Hydrology* 522: 674-683. <https://doi.org/10.1016/j.jhydrol.2015.01.021>.
- Ma, Z., Li, H., Ye, Z., Wen, J., Hu, Y., & Liu, Y. (2020). Application of modified water quality index (WQI) in the assessment of coastal water quality in main aquaculture areas of Dalian, China. *Marine Pollution Bulletin* 157: 111285. <https://doi.org/10.1016/j.marpolbul.2020.111285>.
- Medeiros, A.C., Faial, K.R.F., Faial, K.D.C.F., da Silva Lopes, I.D., de Oliveira Lima, M., Guimarães, R.M., & Mendonça, N.M. (2017). Quality index of the surface water of Amazonian rivers in industrial areas in Pará, Brazil. *Marine Pollution Bulletin* 123(1-2): 156-164. <https://doi.org/10.1016/j.marpolbul.2017.09.002>.
- Misaghi, F., Delgosha, F., Razzaghmanesh, M., & Myers, B. (2017). Introducing a water quality index for assessing water for irrigation purposes: A case study of the Ghezel Ozan River. *Science of the Total Environment* 589: 107-116. <https://doi.org/10.1016/j.scitotenv.2017.02.226>.
- Naubi, I., Zardari, N.H., Shirazi, S.M., Ibrahim, N.F.B., & Baloo, L. (2016). Effectiveness of Water Quality Index for Monitoring Malaysian River Water Quality. *Polish Journal of Environmental Studies* 25(1): 231-239.

<https://doi.org/10.15244/pjoes/60109>.

23. Neary, B., Cash, K., Hebert, S., Khan, H., Saffran, K., Swain, L., & Williamson, D. (2001). Canadian Water quality guidelines for the protection of the aquatic life, CCME water quality index 1.0. Technical Report Canadian Council of Ministers of the Environment.
24. Rai, R.K., Upadhyay, A., Ojha, C.S.P., & Singh, V.P. (2011). *The Yamuna river basin: water resources and environment* (Vol. 66). Springer Science and Business Media.
25. Sarkar, C., & Abbasi, S.A. (2006). Qualidex – A New Software for Generating Water Quality Indice. *Environmental Monitoring and Assessment* 119: 201–231. <https://doi.org/10.1007/s10661-005-9023-6>.
26. Schoeller, H. (1965). Qualitative evaluation of groundwater resources. Methods and techniques of groundwater investigations and development, UNESCO 5483.
27. Schoeller, H. (1967). Geochemistry of groundwater—an international guide for research and practice, Chap. 15: 1–18.
28. Stoner, J.D. (1978). *Water-quality indices for specific water uses*. Department of the Interior Geological Survey.
29. Sutadian, A.D., Muttill, N., Yilmaz, A.G., & Perera, B.J.C. (2016). Development of river water quality indices—a review. *Environmental Monitoring and Assessment* 188(1): 1-29. <https://doi.org/10.1007/s10661-015-5050-0>.
30. Sutadian, A.D., Muttill, N., Yilmaz, A.G., & Perera, B.J.C. (2017). Using the Analytic Hierarchy Process to identify parameter weights for developing a water quality index. *Ecological Indicators* 75: 220-233. <https://doi.org/10.1016/j.ecolind.2016.12.043>.
31. Tiwari, A.K., Singh, A.K., & Mahato, M.K. (2018). Assessment of groundwater quality of Pratapgarh district in India for suitability of drinking purpose using water quality index (WQI) and GIS technique. *Sustainable Water Resources Management* 4(3): 601-616. <https://doi.org/10.1007/s40899-017-0144-1>.
32. Uddin, M.G., Nash, S., & Olbert, A.I. (2021). A review of water quality index models and their use for assessing surface water quality. *Ecological Indicators* 122: 107218. <https://doi.org/10.1016/j.ecolind.2020.107218>.
33. Varol, S., & Davraz, A. (2015). Evaluation of the groundwater quality with WQI (Water Quality Index) and multivariate analysis: a case study of the Tefenni plain (Burdur/Turkey). *Environmental Earth Sciences* 73(4): 1725-1744. <https://doi.org/10.1007/s12665-014-3531-z>.
34. Vasanthavigar, M., Srinivasamoorthy, K., Vijayaragavan, K., Rajiv Gantri, R., Chidambaram, S., Anandhan, P., & Vasudevan, S. (2010). Application of water quality index for groundwater quality assessment: Thirumanimuttar sub-basin, Tamilnadu, India. *Environmental Monitoring and Assessment* 171(1): 595-609. <https://doi.org/10.1007/s10661-009-1302-1>.
35. Verma, P., Singh, P.K., Sinha, R.R., & Tiwari, A.K. (2020). Assessment of groundwater quality status by using water quality index (WQI) and geographic information system (GIS) approaches: a case study of the Bokaro district, India. *Applied Water Science* 10(1): 1-16. <https://doi.org/10.1007/s13201-019-1088-4>.
36. Yadav, K.K., Gupta, N., Kumar, V., Sharma, S., & Arya, S. (2015). Water quality assessment of Pahuj River using water quality index at Unnao Balaji, MP, India. *International Journal of Sciences: Basic and Applied Research* 19(1): 241-250.